

**PROPOSAL TUGAS AKHIR**  
**PERBANDINGAN MODEL ARSITEKTUR DENSENET201 DAN**  
**XCEPTION DALAM KLASIFIKASI CITRA X-RAY PARU-PARU**



**ABDUR ROCHMAN**

**3130021021**

**PROGRAM STUDI S1 SISTEM INFORMASI**  
**FAKULTAS EKONOMI BISNIS DAN TEKNOLOGI DIGITAL**  
**UNIVERSITAS NAHDLATUL ULAMA SURABAYA**

**2025**

### LEMBAR PERSETUJUAN PROPOSAL

Judul : Perbandingan Model Arsitektur DenseNet201 dan Xception  
Dalam Klasifikasi Citra X-Ray Paru-Paru  
Penyusun : Abdur Rochman  
NIM : 3130021021  
Dosen Pembimbing : Ima Kurniastuti, S.T., M.T  
Tanggal Ujian : 13 Januari 2025

Disetujui Oleh :

Pembimbing I,

Ima Kurniastuti, S.T., M.T  
NPP. 1305873

.....

Mengetahui,

Ka. Prodi SI Sistem Informasi

  
UNISA  
FAKULTAS EKONOMI BISNIS  
DAN TEKNOLOGI DIGITAL  
Ima Kurniastuti, S.T., M.T  
NPP. 1305873

## ABSTRAK

*Pneumonia adalah kondisi saat bagian paru-paru yaitu alveoli seseorang terisi nanah dan cairan sehingga penderita kesulitan bernafas. Tuberculosis adalah penyakit menular disebabkan oleh bakteri Myobacterium tuberculosis yang menyerang bagian paru-paru sehingga mengakibatkan kerusakan jaringan paru dan gangguan pernafasan. Penyakit pneumonia dan tuberculosis dapat dideteksi menggunakan citra x-ray paru-paru. Citra x-ray paru-paru adalah citra x-ray yang memberikan informasi kondisi paru-paru pasien. Dengan menggunakan citra x-ray ini, Diagnosa penyakit pneumonia dan tuberculosis dilakukan oleh dokter spesialis paru. Pada penelitian ini dilakukan klasifikasi citra x-ray paru-paru menggunakan metode deep learning. Deep learning adalah cabang dari machine learning yang berfokus pada pengembangan algoritma berbasis jaringan saraf tiruan yang dirancang untuk belajar dan mengekstraksi pola atau representasi data secara otomatis. Metode deep learning yang efektif dalam pengolahan citra adalah Convolutional Neural Network (CNN). Dalam penelitian ini digunakan model CNN untuk mengklasifikasikan citra Chest X-Ray paru-paru yaitu DenseNet201 dan Xception. Kedua model ini telah terbukti efektif dalam bidang klasifikasi citra medis karena kemampuannya dalam menangani vanishing gradient dan meningkatkan kemampuan generalisasi. Ada beberapa tahapan yang dilakukan dalam pedekatan pendekatan ini ialah dibagi menjadi 3 tahapan besar yaitu tahap persiapan, implemantasi, dan evaluasi yang mana setiap tahapan besar memiliki sub tahapan diantaranya tahapan persiapan (pengumpulan data, preprocessing, dan augmentasi data), tahapan implementasi (pembuatan model dan evaluasi model), dan terakhir adalah evaluasi (Tabel Perbandingan Klasifikasi Model DenseNet201 dan Xception). Penggunaan kedua model ini diharapkan dapat meningkatkan akurasi dalam mendiagnosis pneumonia dan tuberculosis.*

*Kata Kunci – Pneumonia, Tuberculosis, X-Ray, Deep Learning, DenseNet201, Xception*

# **BAB I**

## **PENDAHULUAN**

### **1.1 Latar Belakang**

Pneumonia adalah sebuah kondisi dimana alveoli penderita dipenuhi nanah dan cairan sehingga penderita mengalami kesakitan saat bernafas dan oksigen yang masuk kedalam paru paru kurang (Rindrasari, 2018). Pneumonia termasuk penyakit yang menyebabkan kematian tertinggi didunia khususnya pada anak anak (Elvionita et al., 2023). Berdasarkan data *World Health Organization* (WHO) pada 2017, terdapat 25.481 kasus kematian anak anak karena infeksi pernafasan akut atau 17 persen dari seluruh kematian anak anak. Indonesia berada diperingkat ke-7 didunia sebagai negara yang memiliki kasus pneumonia tertinggi (Pranita & Sumartiningtyas, 2020). Selain pneumonia, penyakit paru-paru lainnya seperti *tuberculosis* (TBC) juga menjadi masalah kesehatan global yang serius. Menurut laporan data WHO pada tahun 2017 tercatat diwilayah asia tenggara 62% kasus penderita TBC (world health organizations, 2017). Indonesia menjadi salah satu negara yang memiliki kasus terbanyak dalam menghadapi penyakit TBC, tercatat pada tahun 2017 sebesar 446.732 kasus yang terjangkit TBC. TBC adalah suatu penyakit menular yang disebabkan oleh bakteri *Myobacterium tuberculosis*. Bakteri ini menyerang paru-paru yang mengakibatkan kerusakan jaringan paru dan gangguan pernafasan (Kosarkar et al., 2022).

Peran dokter spesialis paru tentu sangat dibutuhkan. Namun jumlah dokter spesialis paru di Indonesia masih terbatas. Berdasarkan data Perhimpunan Dokter Paru Indonesia (PDPI) pada 2020, tercatat berjumlah 1.206 orang. Jumlah ini belum seimbang dengan jumlah penduduk di Indonesia yang saat ini berjumlah sekitar 250 juta jiwa. Idealnya Indonesia memiliki minimal 2.500 dokter spesialis paru, dengan kata lain saat ini kekurangan 1.294 dokter paru (Manafe, 2020). Diagnosis yang dilakukan oleh dokter spesialis paru sering kali bersifat subjektif. Oleh karena itu dibutuhkanlah sistem yang mampu memberikan diagnosis objektif

dan akurat dalam meningkatkan kualitas pelayanan kesehatan, khususnya dalam menangani penyakit pneumonia dan TBC.

Identifikasi pneumonia biasanya melibatkan test klinis, analisis riwayat medis, dan test pecintraan seperti citra *chest x-ray* atau *computed tomography* (CT) (Huy & Lin, 2023). Berdasarkan wawancara dengan dokter spesialis paru, citra *X-ray* adalah salah satu yang dapat memberikan gambaran kondisi paru-paru, mendeteksi adanya infeksi, peradangan, atau akumulasi cairan yang menjadi ciri khas pneumonia dan TBC. Hasil dari citra medis *X-ray* akan didiagnosis oleh dokter spesialis untuk dilakukan tindakan medis selanjutnya. Diagnosis pneumonia yang akurat menjadi faktor krusial untuk memastikan pengobatan yang efektif, sehingga dapat meningkatkan prognosis pasien (Soewu et al., 2022). Dalam konteks penelitian ini, identifikasi pneumonia juga menjadi dasar pengembangan sistem prediksi berbasis deep learning yang diharapkan dapat mempercepat proses diagnosis dan meningkatkan akurasi deteksi penyakit paru-paru secara otomatis. Hal ini menunjukkan potensi besar teknologi kecerdasan buatan dalam mendukung praktik medis modern.

Dengan memanfaatkan kecerdasan buatan, berbagai penelitian telah dilakukan untuk membantu dalam meningkatkan analisis penyakit pneumonia dan TBC. Salah satu upaya ialah dengan mendeteksi pasien yang terdampak pneumonia dan TBC dengan cepat dan akurat menggunakan metode *deep learning*. *Deep learning* adalah cabang dari *machine learning* yang berfokus pada pengembangan algoritma berbasis jaringan saraf tiruan yang dirancang untuk belajar dan mengekstraksi pola atau representasi data secara otomatis, mirip dengan cara otak manusia bekerja (Heaton, 2018). Metode *deep learning* yang cukup efektif digunakan dalam pengolahan citra adalah *Convolutional Neural Network* (CNN). CNN mampu melakukan ekstraksi fitur dari citra secara lebih mendetail, menyimpan dan menjadikan acuan hasil hasil pembelajaran yang telah dilakukan dengan adanya parameter *weight* dan bias di dalam arsitekturnya (Iswari, 2021). Dalam penelitian ini, akan digunakan model arsitektur CNN dalam mengklasifikasikan pneumonia pada citra *X-Ray* paru-paru. Arsitektur CNN yang digunakan adalah *DenseNet201*

dan *Xception*. *DenseNet201* memiliki kelebihan *dense connectivity*, setiap lapisan terhubung langsung dengan lapisan lainnya, sehingga informasi dapat tersalurkan dengan optimal dan ukuran keluaran tetap konsisten diseluruh lapisan. Sedangkan *Xception* memiliki kelebihan *depthwise seperable convolutions*, yang menggantikan konvolusi standar dengan dua tahap yaitu *pointwise convolution* yang kemudian diikuti oleh *depthwise convolution*, sehingga dapat menghemat jumlah parameter dan meningkatkan efisiensi komputasi sekaligus mempertahankan akurasi.

Salah satu metode yang paling banyak digunakan untuk klasifikasi penyakit adalah *Convolutional Neural Network* (CNN). Penelitian dengan menggunakan CNN antara lain penelitian oleh (Kong & Cheng, 2022) “*Classification and detection of COVID-19 X-Ray images based on DenseNet and VGG16 feature fusion*” didapatkan model yang diusulkan mencapai akurasi rata-rata 98.0% untuk klasifikasi biner dan 97.3% untuk klasifikasi tiga kategori dimana menggunakan arsitektur *DenseNet* dan *VGG16*. Kemudian pada penelitian (Upasana et al., 2022) “*An Attention-based Pneumothorax Classification using Modified Xception Model*” mengenai mendeteksi otomatis citra *X-ray* pneumotoraks, menghasilkan kesimpulan bahwa model *Xception* memiliki nilai akurasi yang baik dengan memiliki akurasi pelatihan 99.18% dan *validation accuracy* 87.53%.

Banyak pendekatan yang telah dikembangkan dan diterapkan untuk mendeteksi pneumonia, namun masih ada ruang untuk peningkatan kerja. Salah satu usulan untuk meningkatkan akurasi dan efisiensi dalam klasifikasi citra *X-Ray* adalah dengan mengimplementasikan metode *DenseNet201* dan *Xception*. Kedua model ini telah terbukti efektif dalam bidang klasifikasi citra medis karena kemampuannya dalam menangani *vanishing gradient* dan meningkatkan kemampuan generalisasi. Diharapkan penelitian ini dapat membantu dokter dalam mendeteksi awal pneumonia.

## 1.2 Perumusan Masalah

Adapun rumusan masalah yang dapat diangkat dari penelitian ini yaitu: Bagaimana hasil akurasi, presision, sensitivity, dan Fscore dari klasifikasi citra *chest x-ray* paru-paru ?

## 1.3 Batasan Masalah

Batasan masalah yang digunakan pada penelitian yaitu:

1. Data klasifikasi jenis citra *x-ray* yang digunakan antara lain : *x-ray* normal, *x-ray* pneumonia, dan *x-ray* tbc
2. Penelitian berfokus pada tingkat akurasi, presision, sensitivity, dan Fscore klasifikasi citra *x-ray* normal, *x-ray* pneumonia, dan *x-ray* tbc
3. Model dari arsitektur cnn yang digunakan adalah DenseNet201 dan Xception

## 1.4 Tujuan Penelitian

Dari rumusan masalah yang dilakukan, maka tujuan dari penelitian ini yaitu : Untuk mengetahui hasil akurasi, presision, sensitivity, dan Fscore dari klasifikasi citra *x-ray* paru-paru

## 1.5 Manfaat Penelitian

Manfaat dari penelitian ini yaitu sebagai berikut:

### a. Bagi Masyarakat

Hasil dari penelitian tersebut dapat digunakan untuk meningkatkan akurasi dan efisiensi dalam mendeteksi pneumonia melalui analisis citra *chest X-ray*, sehingga dapat mendukung tenaga medis dalam mendiagnosis penyakit lebih cepat dan tepat. Dengan pemanfaatan model dari *deep learning*, sistem dapat membantu mengurangi risiko kesalahan diagnosis serta mempercepat proses pengambilan keputusan. Terutama ditengah keterbatasan jumlah dokter

spesialis paru yang sedikit. Hal ini diharapkan dapat berkontribusi pada penanganan yang lebih dini dan efektif, sehingga meningkatkan peluang kesembuhan pasien dan secara keseluruhan mendukung peningkatan kualitas layanan kesehatan Masyarakat.

b. Bagi Pembaca

Hasil dari penelitian ini diharapkan dapat menjadi rujukan atau referensi bagi mahasiswa Sistem Informasi yang akan melakukan penelitian lanjutan dengan topik *deep learning*.

c. Bagi Penulis

Manfaat yang didapatkan oleh Penulis yakni berupa menambah wawasan pada bidang *deep learning* dan oleh data citra gambar. Selain itu juga pengalaman saat proses pengerjaan tugas akhir dimulai dari proses pengambilan data hingga menulis laporannya.

## 1.6 Relevansi

Relevansi pengerjaan penelitian ini berkaitan dengan beberapa mata kuliah seperti:

1. Sistem Cerdas : dalam mata kuliah Sistem Cerdas, konsep dan penerapan algoritma *deep learning* seperti *DenseNet201* dan *Xception* menjadi dasar dalam mengembangkan model untuk mendeteksi pneumonia.
2. Statistika : dalam mata kuliah Statistika berkontribusi pada analisis data, seperti pengolahan statistik deskriptif dan inferensial untuk mengevaluasi performa model yang dikembangkan.
3. Data Science : dalam mata kuliah Data Science menyediakan landasan dalam pengelolaan dan pemrosesan dataset citra *chest X-ray*.
4. Visualisasi Informasi : Visualisasi Informasi berperan dalam menyajikan hasil penelitian secara informatif melalui grafik atau diagram yang memudahkan menangkap sebuah informasi oleh pengguna, termasuk tenaga medis.



## BAB II

### TINJAU PUSTAKA

#### 2.1 Studi Literatur

Tabel 2. 1 Tabel Studi Literatur

No	Judul	Pembahasan	Keterkaitan	Perbedaan
1	<i>An Alzheimer's disease classification model using transfer learning Densenet with embedded healthcare decision support system</i> (Saleh et al., 2023).	Menggabungkan beberapa jenis model <i>DenseNet</i> yaitu <i>DenseNet</i> 121,169, dan 201. Menggunakan transfer learning untuk meningkatkan performa klasifikasi pada dataset <i>Magnetic Resonance Imaging</i> (MRI) yang lebih kecil, serta penggunaan augmentasi data untuk meningkatkan performa model.	Menggunakan <i>transfer learning</i> , menggunakan Teknik augmentasi data, dan menggunakan data citra medis.	Data yang digunakan MRI, Penggabungan 3 Jenis <i>DenseNet</i> 121,169, dan 201, dan menggunakan <i>Area Under the Curve</i> untuk evaluasi model.
2	<i>Classification and detection of COVID-19 X-Ray images based on DenseNet and VGG16 feature fusion</i> (Kong & Cheng, 2022).	Menambahkan <i>global attention machine block</i> dan <i>category attention block</i> untuk mengekstraksi fitur-fitur dalam. Jaringan residual ( <i>ResNet</i> ) digunakan untuk segmentasi informasi gambar. Hasil dari pelatihan model menunjukkan bahwa model yang diusulkan	Penelitian sama-sama klasifikasi penyakit citra <i>X-Ray</i> paru-paru. Menggunakan teknologi <i>deep learning</i> yaitu <i>DenseNet</i> sebagai salah satu arsitektur model dalam citra <i>X-Ray</i> . Untuk mengevaluasi	Penelitian COVID-19 mencakup deteksi beberapa penyakit (COVID-19, pneumonia, normal). Penelitian COVID-19 menggabungkan fitur dari dua arsitektur untuk meningkatkan

No	Judul	Pembahasan	Keterkaitan	Perbedaan
		memiliki akurasi yang tinggi.	performa model menggunakan akurasi sebagai indikator utama keberhasilan.	akurasi. Penelitian COVID-19 memiliki pendekatan yang lebih kompleks dengan penambahan mekanisme attention untuk mengoptimalkan performa model. Penelitian
3	<i>FemurTumorNet: Bone tumor classification in the proximal femur using DenseNet model based on radiographs</i> (Pan et al., 2023).	Dengan menggunakan Model <i>DenseNet</i> dapat mengungguli akurasi diagnosis manusia dalam hal sensitivitas, spesitifitas, akurasi dan skor f1. Hasil dari penelitian menunjukkan bahwa model <i>DenseNet</i> memiliki tingkat akurasi yang tinggi.	Objek yang digunakan adalah citra medis, model yang digunakan sama yaitu <i>DenseNet</i> untuk klasifikasi citra medis.	Penyakit yang diklasifikasikan dan bagian tubuh yang menjadi objek penelitian berbeda seperti muskuloskeletal. Penelitian <i>FemurTumorNet</i> hanya fokus pada <i>DenseNet</i> .
4	<i>Optimization and fine-tuning of DenseNet model for classification of COVID-19 cases in medical imaging</i> (Chauhan et al., 2021).	Dengan menggunakan metode transfer learning, untuk meningkatkan performa model dengan cara bobot yang telah data dilatih sebelumnya. Teknik <i>fine-tuning</i> termasuk <i>early-stopping</i> digunakan guna untuk meningkatkan akurasi model. Hasil	penelitian menggunakan citra medis <i>X-Ray</i> dada. Menggunakan <i>DenseNet</i> sebagai model utama dalam <i>deep learning</i> . Memanfaatkan transfer learning	Penelitian <i>DenseNet</i> lebih luas cakupannya seperti (COVID-19, PNEUMONIA dan NORMAL). Hanya fokus pada <i>DenseNet</i> tanpa memperbandingkan. <i>Fine-tuning</i> menjadi bagian

No	Judul	Pembahasan	Keterkaitan	Perbedaan
		menunjukkan bahwa <i>optimizer adam</i> dengan fungsi kerugian <i>Cross Entropy</i> dan <i>scheduler StepLR</i> memberikan hasil akurasi yang tertinggi.	untuk mengatasi keterbatasan dataset medis. Menggunakan evaluasi akurasi model untuk menentukan keberhasilan klasifikasi.	untuk meningkatkan performa model <i>deep learning</i> .
5	<i>AI diagnostics in bone oncology for predicting bone metastasis in lung cancer patients using DenseNet-264 deep learning model and radiomics</i> (Zeng et al., 2024).	Menggunakan Fitur radiomik diekstraksi dari gambar CT dan seleksi fitur dilakukan menggunakan Minimum Redundancy Maximum Relevance (mRMR) dan Least Absolute Shrinkage and Selection Operator (LASSO). Model DenseNet-264 menunjukkan kinerja yang unggul.	Menggunakan model <i>DenseNet</i> . Menggunakan Transfer learning. Evaluasi model pada menggunakan <i>accuracy</i> untuk mengukur performa klasifikasi.	Object yang digunakan kanker metastasis tulang. Penelitian <i>Bone Oncology</i> menggunakan data CT dengan fitur radiomic. Model yang digunakan <i>DenseNet-264</i> . Lebih menonjolkan <i>evaluasi Under the Curve</i> (AUC) untuk mengukur performa.
6	<i>An in-depth analysis of Convolutional Neural Network architectures with transfer learning for skin disease</i>	Menggunakan metode <i>transfer learning</i> untuk menemukan lebih banyak fitur. Mengevaluasi kinerja pendekatan yang diusulkan dengan beberapa arsitektur CNN	Menggunakan data citra medis. Menggunakan <i>transfer learning</i> sebagai metode untuk meningkatkan kinerja model.	Menggunakan citra dermatoskopi. Penelitian kulit mencakup evaluasi lebih banyak arsitektur CNN diantaranya

No	Judul	Pembahasan	Keterkaitan	Perbedaan
	<i>diagnosis</i> (Sadik et al., 2023).	populer di antara nya, <i>ResNet50</i> , <i>InceptioV3</i> , <i>Inception-ResNet</i> dan <i>DenseNet</i> .	Menggunakan model <i>DenseNet</i> dan <i>Xception</i> . Menggunakan augmentasi data. Mengevaluasi kinerja arsitektur model CNN untuk menentukan model yang paling efektif.	<i>ResNet50</i> , <i>InceptioV3</i> , <i>Inception-ResNet</i> dan <i>DenseNet</i> .
7	<i>An Attention-based Pneumothorax Classification using Modified Xception Model</i> (Upasana et al., 2022).	Penggunaan radiografi dada digunakan sebagai alat diagnosis yang signifikan untuk mendeteksi gangguan paru-paru. Menggabungkan jaringan <i>Xception</i> dengan attention module untuk meningkatkan akurasi deteksi pneumotoraks pada gambar <i>X-ray</i> dada. Model yang diusulkan memperoleh akurasi yang tinggi dan Area AUC yang sangat baik.	Menggunakan citra <i>X-Ray</i> dada. Menggunakan arsitektur model <i>Xception</i> . Mmenggunakan <i>transfer learning</i> . Menggunakan metrik evaluasi untuk mengukur tingkat keberhasilan klasifikasi model.	Berfokus pada pneumotoraks. Memoodifikasi arsitektur seperti menambahkan <i>attention module</i> . Penelitian Pneumotoraks berfokus pada pengembangan model. Menggunakan metrik AUC sebagai evaluasi kinerja model.
8	<i>Prediction of fetal brain gestational age using multihead attention with</i>	Penggunaan model <i>Xception</i> yang telah dilatih sebelumnya dan mekanisme <i>multihead attention</i> (MHA)	Menggunakan arsitektur model CNN yaitu <i>Xception</i> . Menggunakan	Menggunakan dataset MRI otak janin. Memodifikasi model <i>Xception</i>

No	Judul	Pembahasan	Keterkaitan	Perbedaan
	<i>Xception</i> (Hasan et al., 2024).	digunakan untuk memprediksi usia gestasi dari gambar MRI otak janin. Penelitian ini menunjukkan bahwa model yang diusulkan dapat membantu klinisi dalam memprediksi usia gestasi dengan akurasi tinggi.	<i>transfer learning</i> . Menggunakan metrik evaluasi untuk mengukur tingkat keberhasilan klasifikasi model.	dengan MHA. Menggunakan <i>Mean Absolute Error</i> (MAE) untuk mengevaluasi hasil regresi.
9	<i>Boosted dipper throated optimization algorithm-based Xception neural network for skin cancer diagnosis: An optimal approach</i> (Tang & Rashid Sheykhahmad, 2024).	Algoritma <i>Boosted Dipper Throated</i> (BDTO) adalah teknik optimasi yang terinspirasi dari perilaku burung <i>Dipper Throated</i> yang dapat menentukan parameter dan bobot optimal untuk arsitektur CNN <i>Xception</i> . Sedangkan dataset <i>International Skin Imaging Collaboration</i> (ISIC) digunakan untuk meningkatkan kualitas dan keragaman gambar, serta menggunakan augmentasi data. Metode ini menunjukkan kinerja yang lebih baik dibandingkan dengan pendekatan kontemporer lainnya.	Menggunakan arsitektur model CNN <i>Xception</i> . Menggunakan augmentasi data.	Menggunakan dataset ISIC yang terdiri dari citra kulit. Menggunakan optimasi model <i>Xception</i> dengan algoritma BDTO.

No	Judul	Pembahasan	Keterkaitan	Perbedaan
10	<i>Concatenated Xception-ResNet50 — A novel hybrid approach for accurate skin cancer prediction</i> (Panthakkan et al., 2022).	Menggunakan pendekatan hibrida antara dua model <i>Xception</i> dan <i>ResNet50</i> model dilatih dan diuji menggunakan teknik <i>sliding window</i> untuk memastikan kinerja yang konsisten dan menghindari <i>overfitting</i> . Model yang diusulkan mencapai akurasi yang tinggi.	Menggunakan arsitektur model CNN yaitu <i>Xception</i> . Menerapkan penghindaran <i>overfitting</i> dan augmentasi data.	Jenis penyakit yang diklasifikasikan berbeda kanker kulit. Menggunakan pendekatan hibrida antara dua model <i>Xception</i> dan <i>ResNet50</i> .

## 2.2 Dasar Teori

### 2.2.1 Pneumonia

Pneumonia adalah salah satu jenis penyakit paru paru yang disebabkan oleh bakteri, virus, jamur atau parasit. Pneumonia memiliki sebuah kondisi dimana alveoli penderita dipenuhi nanah dan cairan sehingga penderita mengalami kesakitan saat bernafas dan oksigen yang masuk kedalam paru paru kurang (Rindrasari, 2018). Pasien yang mengidap pneumonia biasanya mengalami gejala berupa sesak napas, batuk berdahak, demam ataupun menggigil. Pneumonia biasanya ditularkan dengan berbagai cara antara lain melalui batuk dan bersin (Sartiwi et al., n.d).

Pneumonia merupakan masalah kesehatan yang signifikan di Indonesia, berdasarkan data Riskesdas (2013) terjadi peningkatan prevalansi pneumonia pada semua umur, terutama pada balita yang cukup tinggi yaitu 4,5 per 100 balita. Hal ini dari 4,5 per 100 balita menderita penyakit pneumonia. Sementara itu, menurut

laporan WHO pada tahun 2017 menunjukkan, 15% kematian anak dibawah umur 5 tahun disebabkan oleh pneumonia. Berdasarkan survey Balitbangkes 2016 jumlah anak yang menderita pneumonia di Indonesia diperkirakan melebihi dari 800.000 anak. Pada pasien dewasa, kasus pneumonia paling banyak terjadi pada rentan umur 56-65 tahun. Kondisi ini dipengaruhi oleh perubahan anatomi dan fisiologi akibat proses penuaan, seperti penurunan elastisitas jaringan paru-paru, melemahnya sistem kekebalan tubuh (Farida et al., 2017). Faktor-faktor tersebut dapat menyebabkan penurunan kemampuan paru-paru untuk terkena infeksi paru-paru, sehingga lansia rentan terhadap pneumonia.

Pneumonia juga dapat dipengaruhi oleh berbagai faktor lain seperti kebiasaan merokok, paparan polusi udara, serta kondisi lingkungan yang tidak higienis (Nurin, 2024). Selain itu seseorang dengan penyakit seperti diabetes, penyakit jantung, atau gangguan sistem imun lebih rentan terjangkit pneumonia (CDC, 2023). Pencegahan penyakit ini dapat dilakukan dengan menerapkan gaya hidup sehat seperti menjaga kebersihan tangan, menghindari kontak dengan orang yang terinfeksi, serta menjalani vaksinasi, seperti vaksin pneumokokus dan influenza . Langkah-langkah pencegahan ini sangat penting untuk mengurangi risiko terkena pneumonia, terutama bagi kelompok rentan seperti anak-anak, lansia, dan individu dengan penyakit kronis (Pittara, 2022).

### 2.2.2 Tuberculosis

*Tuberculosis* (TBC) adalah suatu penyakit menular yang disebabkan oleh bakteri *Myobacterium tuberculosis*. Bakteri ini biasanya menyerang paru-paru akan tetapi bakteri tuberkolosis dapat menyerang bagian tubuh mana saja seperti ginjal, tulang belakang, dan otak (Mathofani et al., 2020). Penyakit ini dapat menular melalui udara ketika seseorang yang terinfeksi batuk, bersin, atau bahkan berbicara. Gejala TBC aktif meliputi batuk yang berlangsung lebih dari tiga minggu, nyeri dada, atau dahak. Selain itu penderita tuberkolosis sering mengalami penurunan berat badan, kelelahan, demam, dan keringat malam. Deteksi infeksi TBC laten

melibatkan penggunaan alat diagnosis seperti tes kulit tuberkulin atau uji pelepasan inferno-gamma. Sedangkan diagnosis tuberkulosis aktif bergantung pada citra x-ray dada dan kultur dahak (Kosarkar et al., 2022).

TBC menjadi salah satu penyakit yang terus menimbulkan ancaman global yang signifikan. Menurut laporan data WHO pada tahun 2017 tercatat di wilayah asia tenggara 62% kasus penderita tuberkulosis (world health organizations, 2017). Indonesia menjadi salah satu negara yang memiliki kasus terbanyak dalam menghadapi penyakit tuberkulosis, tercatat pada tahun 2017 sebesar 446.732 kasus yang terjangkit tuberkulosis.

Kebiasaan merokok merupakan sebuah faktor pemicu yang juga meningkatkan resiko untuk terjangkit penyakit TBC. Resiko terjadinya tuberkulosis paru 17.500 kali lebih besar pada responden dengan kebiasaan merokok dibandingkan dengan responden yang tidak merokok. Selain merokok terdapat beberapa faktor lain yang dapat memicu resiko TBC. Kemiskinan, kepadatan hunian, dan lingkungan hidup yang tidak sehat juga dapat meningkatkan paparan bakteri TBC karena sanitasi yang buruk dan akses pelayanan kesehatan yang terbatas. HIV/AIDS juga merupakan sebuah faktor terjangkitnya TBC karena status imun menjadi melemah sehingga mudah untuk terkena penyakit lainnya (Banu et al., 2017).

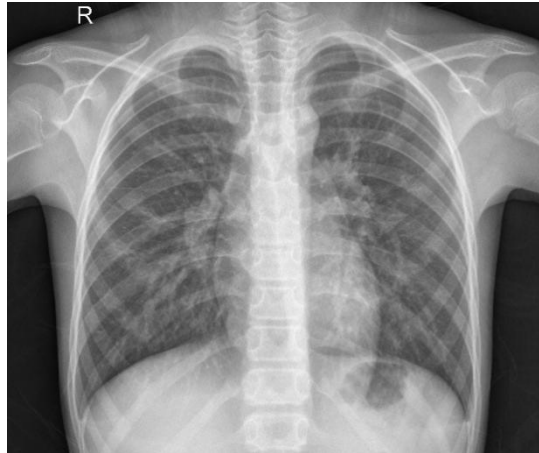
### 2.2.2 Chest X-Ray

*Chest X-Ray* (CXR) adalah suatu proyeksi pecintraan medis yang menggunakan radiasi untuk menghasilkan gambar dari organ atau struktur didalam dada. Termasuk seperti paru-paru, jantung, tulang rusuk dan pembuluh darah. *Chest X-Ray* alat yang sangat umum digunakan untuk mendiagnosis berbagai kondisi seperti infeksi paru-paru, gagal jantung, kanker paru-paru dan masalah yang lainnya (*Chest X-Rays – The Heart Clinic*, 2015).

Citra paru-paru dapat dikategorikan normal apabila citra tersebut tidak ada bercak, teksturnya terlihat halus, serta ukuran paru-paru sesuai dengan anatomi



yang normal. Sebaliknya, citra paru-paru dianggap abnormal apabila citra tersebut memiliki bercak, teksturnya tidak terlihat halus, serta perubahan bentuk atau ukuran paru-paru berubah. Perubahan tersebut dapat diketahui dari intensi piksel pada objek paru-paru (Wikanargo & Thenata, 2018).



Gambar 2. 1 Chest X-Ray Paru-Paru

### 2.2.3 Citra Digital

Citra digital adalah sebuah representasi dari suatu objek yang disimpan dalam suatu bentuk elektronik yang dapat diolah oleh komputer. Citra digital digambarkan sebagai fungsi  $f(x,y)$  dengan  $x$  dan  $y$  merupakan koordinat pada sebuah bidang datar yang mempresentasikan kumpulan pixel dalam dua dimensi (Gonzalez & Woods, 2008). Secara umum citra digital dibagi menjadi tiga, yaitu citra biner, citra *grayscale* dan citra RGB. Citra biner hanya terdiri dari dua nilai, yaitu hitam dan putih, yang mewakili objek dan latar belakang. Citra *grayscale* terdiri dari nilai intensitas abu-abu yang menggambarkan perbedaan kecerahan, sedangkan citra RGB menggabungkan tiga komponen warna dasar, yaitu merah (Red), hijau (Green), dan biru (Blue), untuk membentuk warna yang lebih kompleks (Sulistiyani Ratna et al., 2016).

Terdapat banyak metode pengolahan gambar yang dapat digunakan, salah satunya adalah augmentasi gambar. Augmentasi merupakan sebuah metode untuk

memperbanyak data gambar untuk training dengan membuat perubahan untuk memperoleh gambar training yang serupa tetapi berbeda. Memotong gambar dengan cara yang berbeda dapat memberikan posisi gambar yang berbeda, sehingga dapat mengurangi ketergantungan model pada posisi dimana objek muncul. Teknik augmentasi juga dapat memberi penyesuaian terhadap kecerahan, warna, serta faktor-faktor lain untuk mengurangi sensitivitas model terhadap warna. Melakukan flip ke kiri dan ke kanan pada gambar umumnya tidak mengubah kategori dari objek. Sehingga, metode ini adalah salah satu metode augmentasi gambar yang sering digunakan (Zhang et al., 2021).

#### 2.2.4 Grayscale

*Grayscale* adalah format representasi citra yang menggunakan satu channel untuk setiap piksel dengan nilai kecerahan yang bervariasi dari 0 hingga 255. Nilai ini menggambarkan intensitas Cahaya yaitu, 0 mewakili hitam (tanpa cahaya) dan 255 mewakili putih (intensitas cahaya maksimum) (Gonzalez & Woods, 2002). Dalam aplikasi pemrosesan citra *grayscale* sering digunakan karena informasi warna tidak selalu relevan, terutama pada jenis citra seperti *X-Ray*. Dimana analisis lebih berfokus pada pola intensitas daripada kombinasi warna.

Penggunaan citra *grayscale* memiliki peran penting dalam pengolahan citra medis seperti *X-Ray* paru-paru. Citra *X-Ray* umumnya sudah berupa *grayscale* secara *default*, karena tujuan utama dari citra tersebut adalah untuk menunjukkan detail struktur internal tubuh berdasarkan distribusi intensitas cahaya yang melewati jaringan tubuh. Dengan menggunakan format *grayscale*, analisis fitur seperti pola abnormal, perbedaan densitas jaringan, atau identifikasi anomali menjadi lebih mudah dilakukan (Ramdhan et al., 2014). Selain itu, penggunaan citra grayscale membantu menyederhanakan algoritma pemrosesan, termasuk metode peningkatan kontras seperti *Contrast Limited Adaptive Histogram Equalization* (CLAHE), karena metode ini hanya berfokus pada distribusi intensitas piksel tanpa memperhatikan informasi warna.

### 2.2.5 Contrast Limited Adaptive Histogram Equalization (CLAHE)

*Pre-processing* bertujuan untuk meningkatkan kualitas citra, sehingga memudahkan dan mempercepat kinerja sistem dalam mengenali citra *X-Ray* paru-paru. Proses ini sangat penting untuk memastikan bahwa citra yang digunakan oleh model deep learning memiliki kualitas yang optimal. Tanpa *pre-processing* yang tepat sistem dapat kesulitan untuk mengidentifikasi fitur-fitur penting dalam citra. Salah satu metode *pre-processing* citra untuk meningkatkan kontras gambar adalah CLAHE.

CLAHE merupakan sebuah metode dengan memberikan nilai batas pada histogram. Nilai batas ini disebut dengan clip limit yang menyatakan batas maksimum tinggi suatu histogram. Dengan menggunakan CLAHE kontras citra dapat diperbaiki terutama pada area dengan kontras rendah. Metode ini sangat berguna untuk citra medis seperti *X-Ray* yang seringkali memiliki detail yang sulit terlihat karena kontras yang rendah. Metode ini bertugas membagi citra menjadi beberapa bagian kecil dan masing-masing bagian dihitung histogramnya secara terpisah. Proses ini dilakukan untuk menghindari efek noise yang berlebihan di area dengan kontras tinggi.

Proses CLAHE terdiri dari dua tahap, yaitu pada tahap pertama membagi citra kedalam beberapa bagian dengan ukuran yang sama dan merata. Pada tahap kedua menghitung nilai histogram masing-masing bagian sehingga mendapatkan nilai *clip limit* dari citra tersebut. Dengan begitu, area yang memiliki kontras rendah dapat ditingkatkan tanpa merusak detail yang ada pada area dengan kontras tinggi. Cara menghitung clip limit suatu histogram dapat didefinisikan dengan persamaan berikut (Koonsanit et al., 2017).

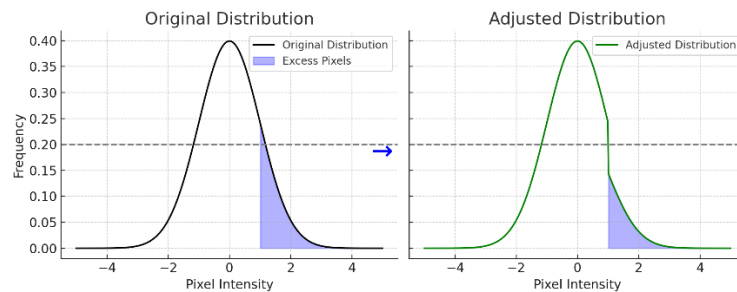
$$\delta = \frac{QR}{C} \left( 1 + \frac{a}{100} (gr_{max} - 1) \right) \quad (2.1)$$

Keterangan:

$\delta$  = clip limit

$Q \times R$  = luas citra dimensi citra  
 $C$  = nilai komponen warna  
 $a$  = clip factor (batas limit suatu histogram)  
 $gr_{max}$  = nilai gradien maksimum

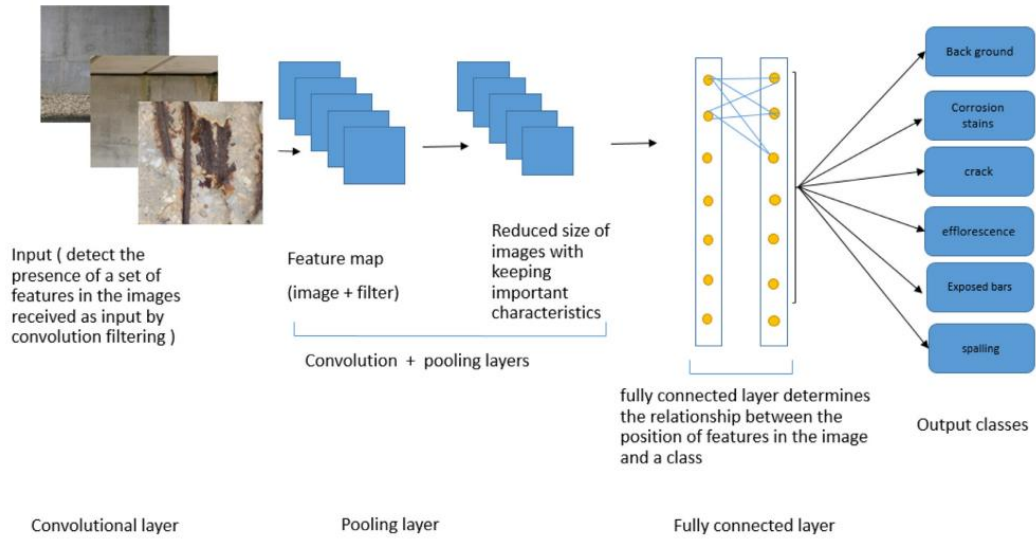
Histogram diatas nilai *clip limit* dianggap kelebihan (*excess*) piksel yang akan didistribusikan kepada area sekitar di bawah *clip limit*, sehingga histogram merata (). Ilustrasi distribusi *excess* piksel dapat dilihat pada gambar 2.2.



Gambar 2. 2 Distribusi excess pixel pada histogram

### 2.2.6 Convolutional Neural Network (CNN)

CNN adalah salah satu metode dari deeplearning yang digunakan dalam klasifikasi citra gambar. Pada dasarnya, CNN tidak jauh berbeda dengan neural network biasanya yang memiliki bobot, bias dan fungsi aktivasi. CNN mengatur neuron dalam bentuk tiga dimensi yaitu lebar, panjang dan tinggi. Secara umum, arsitektur CNN terdiri dari tiga *layer* utama yaitu *convolutional layer*, *pooling layer* dan *fully connected layer* (Sewak et al., 2018). Berikut merupakan ilustrasi arsitektur metode CNN yang ditunjukkan pada Gambar 2.3.



Gambar 2. 3 Arsitektur Convolutional Neural Network (CNN)

a. *Convolutional Layer*

Fungsi utama dari *convolution layer* adalah mengekstraksi fitur dari citra input. Proses konvolusi adalah mengalikan sebuah gambar dengan sebuah convolution kernel atau filter yang dinyatakan dalam bentuk matrik dengan ukuran yang biasanya lebih kecil dari ukuran gambar. *Convolutional layer* membutuhkan input yang kemudian mengaplikasikan *convotional kernel* dan memberikan sebuah hasil berupa feature map sebagai output yang diilustrasikan pada Gambar 2.4 (Zhang et al., 2021). Operasi konvolusi apabila input dan kernel berukuran dua dimensi ditulis pada persamaan (2.2).

$$FM_{a,b,l} = bias + \sum_c^C \sum_d^D Z_{c,d,l} X_{a+c-1,b+d-1,l} \quad (2.2)$$

dimana :

$FM_{a,b,l}$  = feature map pada pixel ke-a,b pada citra ke-l

$bias$  = bias pada feature map

$Z_{c,d,l}$  = bobot pada pada *convolutional kernel* ke-c,d pada citra ke-l

$X = \text{input}$

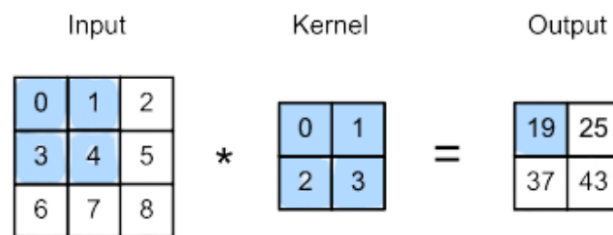
$a = 1, 2, \dots, A$ .  $A$  merupakan panjang pixel pada *feature map*

$b = 1, 2, \dots, B$ .  $B$  merupakan lebar pixel pada *feature map*

$c = 1, 2, \dots, C$ .  $C$  merupakan panjang pixel pada *convolutional kernel*

$d = 1, 2, \dots, D$ .  $D$  merupakan lebar pixel pada *convolutional kernel*

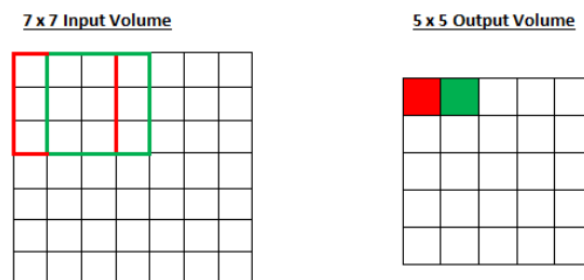
$l = 1, 2, \dots, L$ .  $L$  merupakan citra yang digunakan



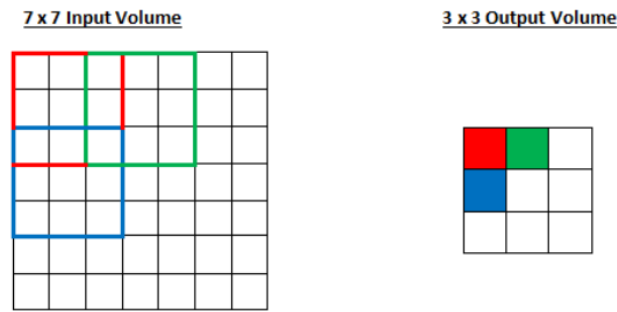
Gambar 2. 4 Ilustrasi Convolutional Layer

Dalam perhitungan output, kernel digeser untuk setiap pixel. Demi meningkatkan efisiensi komputasi, kernel digeser lebih dari satu pixel. Banyaknya pixel yang digeser dalam input disebut stride yang ditampilkan pada Gambar 2.5.

### Stride 1

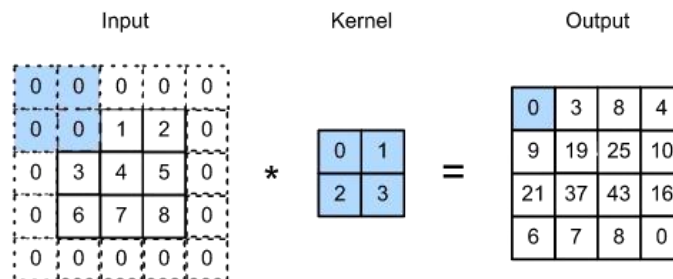


### Stride 2



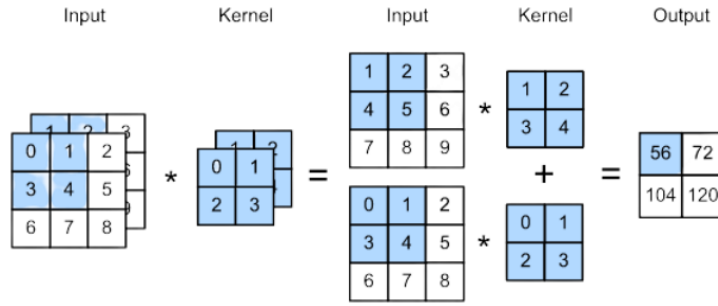
Gambar 2. 5 Perbedaan Antara Stride 1 dan Stride 2

Salah satu masalah yang terjadi akibat pengaplikasian *convolutional layer* adalah kehilangan informasi *pixel* yang terletak pada bagian tepi gambar. Solusi yang mudah adalah menambah *pixel* tambahan dipinggiran gambar, sehingga memperbesar dimensi gambar. Biasanya, *pixel* tambahan bernilai 0 yang diilustrasikan pada Gambar 2.6.



Gambar 2. 6 Ilustrasi Padding Berukuran 1x1

Jika input data mengandung banyak *channel*, maka perlu dibentuk *kernel* konvolusi yang memiliki *channel* sebanyak *channel* input sehingga dapat dilakukan korelasi silang. Apabila diasumsikan jika banyaknya *channel* input adalah  $c_i$ , maka kernel konvolusi harus sebanyak  $c_i$  juga. Korelasi silang dihitung dengan menjumlahkan operasi konvolusi untuk setiap *channel*, sehingga didapatkan output berdimensi dua yang diilustrasikan pada gambar 2.7.



Gambar 2. 7 Ilustrasi Padding Berukuran 1x1

Terlepas dari banyaknya input *chanel*, sejauh ini menghasilkan output dengan *chanel* tunggal. Akan tetapi, arsitektur CNN yang populer pada umumnya memiliki output dengan banyak *chanel*. Hal ini dilakukan untuk menyimpan lebih banyak informasi ketika *pooling* dilakukan.

#### b. Pooling Layer

*Pooling layer* berada setelah convolution layer dan tidak memiliki parameter. *Pooling layer* bersifat deterministik sehingga fungsi yang bisa digunakan adalah maksimum dan mean untuk mengurangi input data (Zhang et al., 2021). Operasi ini masing-masing dinamakan *max pooling* dan *average pooling*. Fungsi *max pooling* disajikan pada persamaan berikut (Hafemann et al., 2017).

$$Pool_{a,b,l} = \max_{i,j} (FM_{(a+i),(b+j),l}) \quad (2.3)$$

$FM$  = feature map

$Pool$  = hasil *pooling layer*

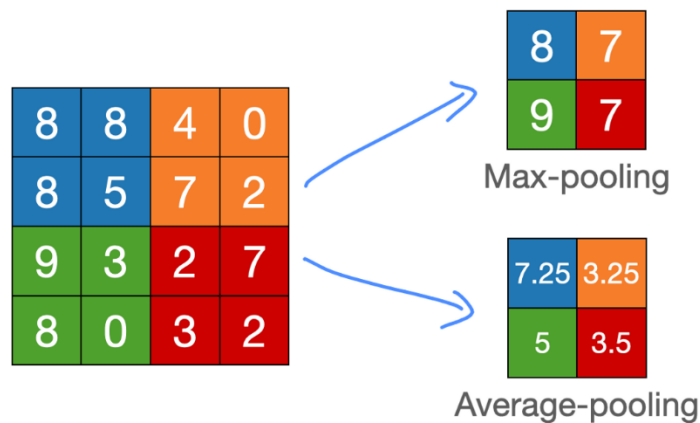
$a = 1, 2, \dots, A$ .  $A$  merupakan panjang pixel

$b = 1, 2, \dots, B$ .  $B$  merupakan lebar pixel

$c = 1, 2, \dots, C$ .  $C$  merupakan citra yang digunakan

Ilustrasi operasi *max pooling* dan *average pooling* yang dapat dilihat pada gambar. *Pooling layer* terdiri dari sebuah filter dengan ukuran dan *stride* tertentu yang akan secara bergantian bergeser pada seluruh area *feature map*.

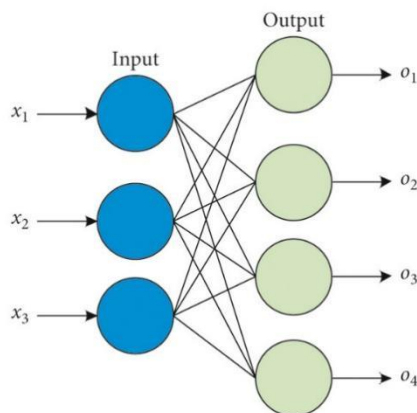




Gambar 2. 8 Pooling Layer

c. *Fully Connected Layer*

*Fully connected layer* merupakan bagian terakhir dari arsitektur CNN yang digunakan untuk melakukan transformasi dimensi data agar dapat diklasifikasikan secara linear. Layer ini mengkoneksasikan semua neuron disatu layer dan kesemua neuron layer lainnya (Zhang et al., 2021). Citra digital yang memiliki dua atau tiga dimensi akan diubah menjadi suatu vector (data berdimensi satu) sebelum masuk ke *fully connected layer* karena input layer ini adalah suatu vektor. Fully connected layer memiliki fungsi aktivasi, *output layer* dan *loss function*. Berikut merupakan ilustrasi *fully connected layer* tanpa menggunakan hidden layer yang akan ditunjukkan pada gambar 2.9.



Gambar 2. 9 Ilustrasi Fully Connected Layer

Metode CNN menggunakan fungsi aktivasi pada *convolutional layer* sebelum *pooling layer* adalah fungsi aktivasi ReLu yang tercantum pada persamaa (2.5) Sedangkan fungsi aktivasi yang digunakan pada layer terakhir adalah fungsi aktivasi sigmoid yang tercantum pada persamaan (2.4), jika kelas klasifikasi yang digunakan adalah biner.

### 2.2.7 Fungsi Aktivasi Softmax

Fungsi aktivasi sigmoid merupakan fungsi aktivasi yang digunakan dalam perhitungan probabilitas untuk menentukan klasifikasi multi kelas dengan output kelas yang mempunyai nilai probabilitas yang paling tinggi (Agustina Purwitasari et al., 2022). Fungsi aktivasi softmax dapat mengurangi kemungkinan nilai error yang dihasilkan oleh fungsi objektif *cross-entropy* (Rokhana et al., 2019). Perhitungan fungsi aktivasi softmax ditunjukkan pada persamaan (2.4) sebagai berikut.

$$p(y_{ik}) = \frac{e^{r_k}}{\sum_{j=1}^K e^{r_j}} \quad (2.4)$$

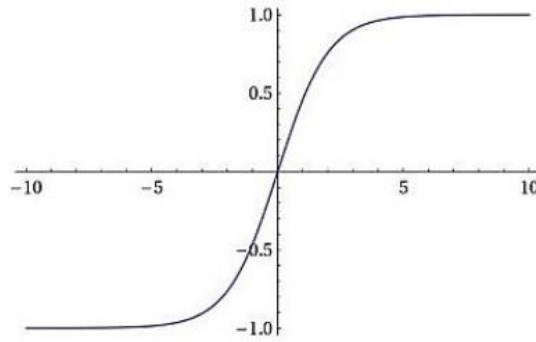
dimana :

$r_k$  = output setiap neuron output layer tanpa fungsi aktivasi

K = jumlah kelas dalam klasifikasi multikelas

$p(y_{ik})$  = output setiap neuron *output layer* setelah dimasukkan dalam fungsi aktivasi

Berikut merupakan Ilustrasi fungsi sigmoid ditunjukkan pada gambar 2.10.



Gambar 2. 10 Distribusi Fungsi Sigmoid

### 2.2.8 Fungsi Aktivasi *Rectified Linear Unit* (ReLU)

Fungsi aktivasi ReLu merupakan fungsi aktivasi yang menghilangkan *vanishing gradient* yang cukup populer digunakan (Zhang et al., 2021). Fungsi ReLu digunakan sebagai non-linearitas telah menunjukkan kemungkinan pelatihan CNN tanpa memerlukan unsupervised pre-training. Perhitungan fungsi ReLu ditunjukkan pada persamaan berikut.

$$f(FM_{a,b,l}) = \max(0, FM_{a,b,l}) = \begin{cases} FM_{a,b,l}, & \text{jika } FM_{a,b,l} \geq 0 \\ 0, & \text{jika } FM_{a,b,l} < 0 \end{cases} \quad (2.5)$$

dimana :

$FM$  = *feature map*

$a = 1, 2, \dots, A$ .  $A$  merupakan panjang *pixel*

$b = 1, 2, \dots, B$ .  $B$  merupakan lebar *pixel*

$l = 1, 2, \dots, L$ .  $L$  merupakan citra yang digunakan

### 2.2.6.3 Loss Function

*Loss function* adalah nilai error antara nilai aktual dengan nilai yang akan diprediksi. *Loss function* biasanya berupa nilai non-negatif dimana jika bernilai lebih kecil akan menghasilkan prediksi yang lebih akurat (Zhang et al., 2021).

Terdapat banyak metode untuk mengukur nilai error pada *deep learning*. Pada klasifikasi yang memiliki tiga kelas perhitungan loss yang digunakan adalah *categorical-crossentropy*. Perhitungan *categorical-crossentropy* ditunjukkan pada persamaan berikut.

$$Loss = -\frac{1}{N} \sum_{i=1}^N \sum_{k=1}^K y_{ik} \log(p(y_{ik})) \quad (2.6)$$

dimana :

N = jumlah sampel dalam batch

K= jumlah kelas

$y_{ik}$ = nilai target berupa nilai 0 dan 1

$p(y_{ik})$ =*predicted value* didapatkan dari persamaan (2.4)

### 2.2.9 Optimasi Parameter *Adaptive Moment Estimation* (ADAM)

Optimasi parameter digunakan untuk meminumkan nilai loss sehingga loss merupakan kunci dalam optimasi parameter bias dan bobot. Optimasi parameter yang digunakan dalam penelitian ini yaitu optimasi parameter ADAM. ADAM menggunakan gradient, lalu estimasi momen pertama dan kedua serta mengoreksi dengan *bias correction*. Penyelesaian gradient pada network ini menggunakan *chain rule* untuk mendapatkan *partial derivative* (Bishop, 2006). Dalam mengoptimasi parameter dengan menggunakan Adam, hal pertama yang harus dilakukan adalah menghitung gradient dari loss function terhadap parameter yaitu bias dan pembobot, sehingga berikut persamaan yang digunakan.

$$g_t = \frac{\partial Loss}{\partial \theta} \quad (2.7)$$

Hal kedua setelah menghitung gradient dari loss function adalah menghitung Momentum term dan RMSProp term, sehingga berikut persamaan yang digunakan.

Momentum term :

$$m_t = \beta_1 \times m_{t-1} + (1 - \beta_1)g_t \quad (2.8)$$

Dimana :

$\beta_1$  = koefisien untuk momentum

RMSProp term :

$$v_t = \beta_1 \times v_{t-1} + (1 - \beta_1)g_t^2 \quad (2.9)$$

Dimana :

$\beta_2$  = koefisien untuk estimasi kedua

Hal ketiga setelah menghitung Momentum term dan RMSProp term adalah menghitung Bias correction, sehingga berikut persamaan yang digunakan

Bias correction :

$$\hat{m}_t = \frac{m_t}{1 - \beta_1^t}, \hat{v}_t = \frac{v_t}{1 - \beta_2^t} \quad (2.10)$$

Langkah terakhir ialah menghitung parameter update, sehingga berikut persamaan yang digunakan.

Dimana :

$\beta_1^t$  = iterasi saat ini dan koefisien momentum

$\beta_2^t$  = iterasi saat ini dan koefisien untuk estimasi kedua

Parameter update :

$$\theta_{t+1} = \theta_t - \eta \frac{\hat{m}_t}{\sqrt{\hat{v}_t} + \epsilon} \quad (2.11)$$

Dimana :

$\eta$  = Learning rate,

$\epsilon$  = Stabilizer untuk menghindari pembagian dari nol.

### 2.2.10 Transfer Learning

*Transfer Learning* adalah salah satu metode dari *deep learning* dengan memanfaatkan model yang sudah dilatih terhadap suatu dataset besar untuk menyelesaikan permasalahan lain. Teknik ini digunakan untuk mempercepat proses *training* dan meningkatkan kualitas model. Dengan menggunakan *pre-trained* model dapat menghemat sumber daya komputasi dan waktu yang diperlukan untuk melatih model dari awal (Patterson & Gibson, 2017). Contoh *pre-trained* model adalah *ResNet*, *VGGNet*, *InceptionV3*, *DenseNet*, *EfficientNet* dan *MobilNet*. Model-model ini telah dilatih pada dataset skala besar dan kompleks sehingga memiliki kemampuan yang baik untuk berbagai tugas pengenalan pola dan klasifikasi. Setiap model memiliki arsitektur yang unik dan kelebihan masing-masing yang dapat dipilih berdasarkan kebutuhan spesifik dari permasalahan yang dihadapi.

Salah satu dataset yang sering digunakan untuk melatih *pre-trained* model adalah *ImageNet*. Dataset ini berisi sekitar 1,2 juta gambar dengan 1.000 kelas yang berbeda, mencakup berbagai objek dan scene (Iswari, 2021). Dengan dilatih pada dataset yang besar, *pre-trained* model seperti *DenseNet* dan *Xception* mampu menangkap fitur-fitur yang sangat beragam. Sehingga dapat diterapkan pada berbagai aplikasi dari pengenalan objek hingga segmentasi gambar. Penggunaan *pre-trained* model memungkinkan transfer pengetahuan dari satu domain ke domain lain. Meningkatkan efisiensi dan efektivitas dalam pengembangan model *deep learning*.

Selain efisiensi dan kemampuan generalisasi yang baik, *Transfer Learning* juga memungkinkan pengembangan model dengan dataset yang relatif kecil. Ketika dataset yang tersedia terbatas pelatihan model dari awal bisa menjadi tantangan besar (Hosna et al., 2022). Dalam situasi ini, *pre-trained* model dapat bertindak sebagai dasar yang kuat, di mana model hanya perlu disesuaikan atau di *fine-tune* pada dataset spesifik yang lebih kecil.

#### a. Ekstraksi Fitur

Ekstraksi fitur adalah proses penting dalam pemrosesan citra yang bertujuan untuk mengambil informasi signifikan atau pola yang merepresentasikan karakteristik utama dari sebuah citra. Proses ini bertujuan untuk mereduksi dimensi data mentah dengan tetap mempertahankan informasi penting yang dapat digunakan untuk analisis atau klasifikasi. Dalam *deep learning* ekstraksi fitur dilakukan secara otomatis oleh lapisan-lapisan dalam model CNN (Huang et al., 2016). Salah satu metode yang umum digunakan dalam *transfer learning* adalah memanfaatkan model *pre-trained*, seperti *DenseNet*, *ResNet*, atau *Xception*, *VGGNet* yang sudah dilatih pada dataset besar seperti *ImageNet*. Model ini berfungsi sebagai base model untuk melakukan ekstraksi fitur dari data baru.

Pada *transfer learning*, lapisan-lapisan dalam model *pre-trained* sering kali dibekukan dengan mengatur properti *False*. Hal ini bertujuan untuk menjaga parameter yang telah dipelajari dari dataset awal sehingga model dapat berfungsi sebagai ekstraktor fitur. Fitur-fitur yang telah diekstraksi kemudian dapat digunakan untuk *custom layers* yang dirancang khusus untuk tugas tertentu, seperti klasifikasi *binary* atau multi-kelas. Ekstraksi fitur otomatis ini memungkinkan, memanfaatkan keunggulan model *pre-trained* tanpa perlu melatih ulang seluruh model, sehingga menghemat waktu dan sumber daya komputasi (He et al., 2015).

#### b. Task Specifics Layers

*Task specific layers* adalah lapisan yang ditambahkan ke model *deep learning* yang sudah dilatih sebelumnya untuk menyesuaikan model tersebut dengan tugas atau masalah tertentu (Rahman et al., 2025). Dalam konteks transfer learning model *pre-trained* seperti *DenseNet*, *VGGNet*, atau *ResNet* digunakan untuk melakukan ekstraksi fitur dari data baru. Fitur-fitur yang telah dipelajari dari dataset besar seperti *ImageNet* digunakan untuk memahami pola-pola dasar dalam data, seperti tepi, tekstur, atau bentuk. Namun, untuk menyelesaikan tugas tertentu, seperti

klasifikasi citra atau deteksi objek, model memerlukan lapisan tambahan yang dirancang khusus untuk tugas tersebut.

Lapisan yang ditambahkan ini sering disebut sebagai *task specific layers*, yang bertujuan untuk mengambil fitur yang telah diekstraksi oleh model *pre-trained* dan memanfaatkan informasi tersebut untuk memecahkan masalah spesifik. Keuntungan utama dari penggunaan *task specific layers* adalah memungkinkan model untuk memanfaatkan data yang telah dipelajari dari data besar tanpa memerlukan pelatihan ulang pada seluruh model, sehingga menghemat waktu dan sumber daya komputasi (Rahman et al., 2025).

#### 2.2.11 Model *DenseNet201*

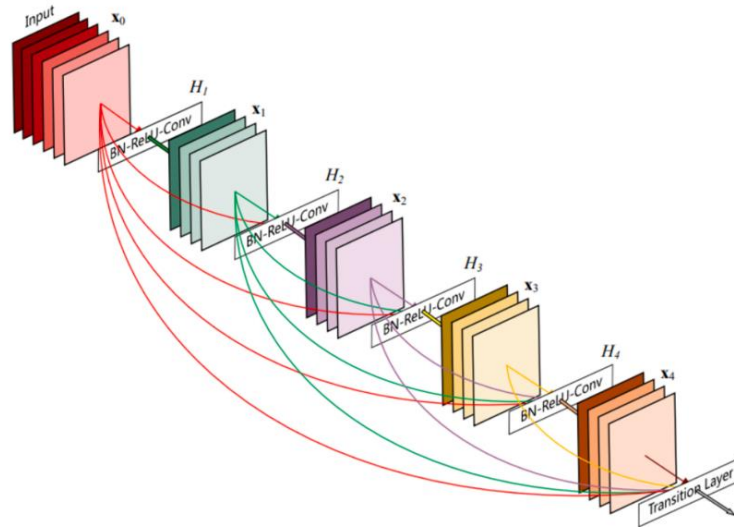
*DenseNet201* adalah salah satu metode *deep learning* dari CNN yang terdiri dari 201 lapisan, yang diperkenalkan oleh Gao Huang dkk, pada tahun 2017 (Virnodkar et al., 2022). Jaringan ini dikenal karena menggunakan *dense connections* yang terdiri dari *dense blocks* dan *transition layers*. *Dense blocks* yang terdiri dari *Bottleneck Layers*, berfungsi sebagai komponen utama dalam jaringan model. Mode koneksi padat didalam *dense blocks* memungkinkan setiap lapisan terhubung langsung dengan lapisan lainnya, sehingga informasi dapat tersalurkan dengan optimal dan ukuran keluaran tetap konsisten diseluruh lapisan. *DenseNet* mengatur jumlah *channels* melalui *bottleneck layers*, *transition layers* dan *growth layer* (Huang et al., 2016). Pendekatan ini tidak hanya dapat mengurangi jumlah parameter dan mengatasi masalah *overfitting* akan tetapi juga dapat secara signifikan menurunkan beban komputasi. Secara keseluruhan arsitektur *DenseNet201* yang digunakan dapat dilihat pada Gambar 2.11.

Salah satu keunggulan utama dari *DenseNet201* adalah kemampuannya dalam memitigasi masalah vanishing gradient yang sering menjadi tantangan dalam *deep learning*. Dengan menghubungkan setiap lapisan langsung ke setiap lapisan lainnya dalam *dense blocks* *DenseNet* memastikan bahwa gradien dapat mengalir lebih



mudah melalui jaringan selama proses pelatihan. Ini berarti bahwa informasi penting tidak hilang saat melalui banyak lapisan dan pelatihan dapat berlangsung lebih efisien dan efektif (Kong & Cheng, 2022).

*DenseNet201* juga memberikan penawaran seperti efisiensi parameter yang tinggi. Karena *dense connections* memungkinkan reuse fitur dari lapisan sebelumnya, sehingga jumlah parameter yang diperlukan jauh lebih sedikit dibandingkan dengan arsitektur jaringan konvolusi tradisional (Devi et al., 2024). Ini tidak hanya mengurangi kebutuhan akan sumber daya komputasi yang besar tetapi juga membantu dalam menghindari *overfitting*, terutama ketika bekerja dengan dataset yang lebih kecil.



Gambar 2. 11 Arsitektur DenseNet201

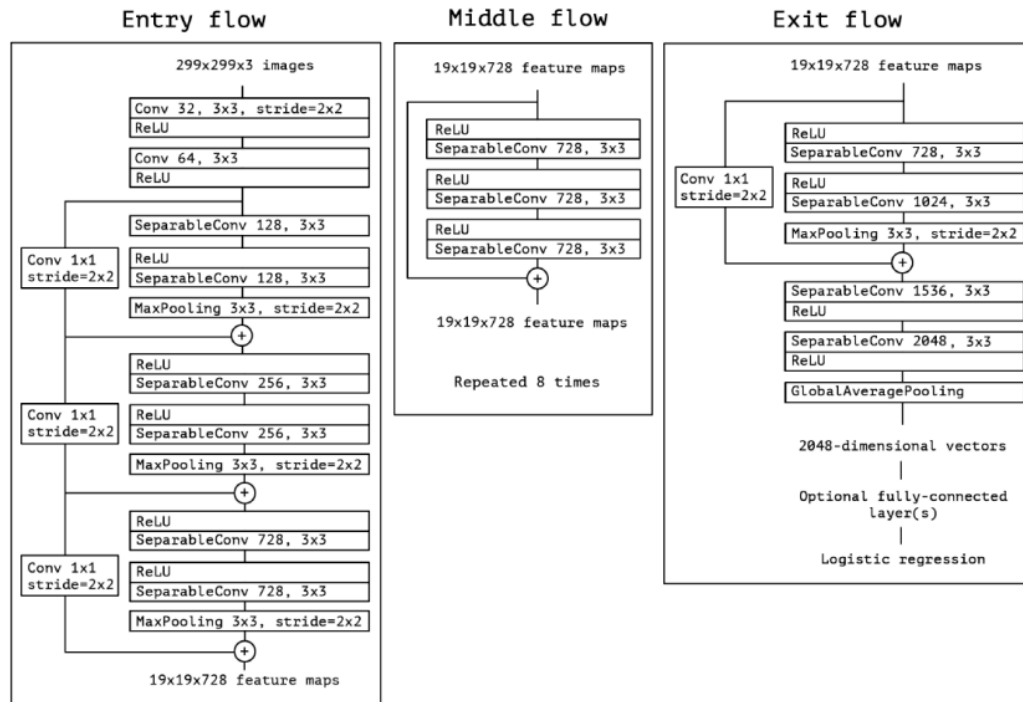
#### 2.2.12 Model *Xception*

*Xception* adalah arsitektur model dari CNN *open source* yang diteliti dan dikembangkan oleh Google. Nama *Xception* sendiri merupakan singkatan dari *Extreme version of Inception* yang berarti Versi yang lebih ekstrem dari Inception atau bisa diartikan versi yang lebih intens dari model yang sebelumnya dibuat oleh google. Model ini menggabungkan beberapa inovasi dari Inception dan

mengembangkan pendekatan baru untuk meningkatkan kinerjanya. *Xception* dirancang untuk memberikan fleksibilitas dan performa tinggi dalam berbagai tugas klasifikasi gambar, sehingga yang menjadikannya salah satu model populer dalam bidang klasifikasi gambar (Chollet, 2017).

*Xception* memiliki lapisan konvolusi yang menggabungkan *pointwise convolution* yang kemudian diikuti oleh *depthwise convolution*. Kombinasi ini memungkinkan *Xception* untuk menghemat jumlah parameter dan meningkatkan efisiensi komputasi sekaligus mempertahankan akurasi. Dari kombinasi tersebut terbukti memberikan kinerja yang lebih baik dalam melakukan klasifikasi gambar pada berbagai dataset besar seperti *ImageNet* (Chollet, 2017).

Arsitektur *Xception* sendiri memiliki lapisan yang terdiri dari 36 lapisan *konvolusi* yang menjadi dasar jaringan ekstraksi fitur. Ke-36 lapisan *konvolusi* tersebut disusun kedalam 14 modul, dimana semuanya memiliki koneksi *residual linear* disekitarnya kecuali untuk modul pertama dan terakhir. Selain itu *Xception* sendiri memiliki arsitektur yang memudahkan dalam memodifikasi pada parameter-parameter yang dimilikinya (Carnegie et al., 2022). Spesifik lengkap tentang jaringan *Xception* dapat dilihat Gambar 2.12.



Gambar 2. 12 Arsitektur Xception

### 2.2.13 Evaluasi Ketetapan Klasifikasi

Evaluasi model klasifikasi digunakan untuk menentukan model terbaik dengan cara Melihat kemungkinan kesalahan klasifikasi yang dilakukan oleh suatu model. Model klasifikasi akan menghasilkan nilai *output* dalam bentuk dikrit maupun kontinu. Nilai *diskrit* akan memprediksi label kelas dari testing, sedangkan *kontinu* akan mempresentasikan estimasi dari Probabilitas kelas prediksi (Tharwat, 2018). Dalam mengukur ketepatan klasifikasi, perlu diketahui jumlah data pada setiap kelas prediksi dan kelas aktual yang terdiri TP (*True Positive*), TN (*True Negative*), FP (*False Positive*) dan FN (*False Negative*). True Positive (TP) adalah jumlah kasus di mana model berhasil memprediksi dengan benar bahwa data termasuk ke dalam kelas positif ketika label sebenarnya adalah positif dan model juga memprediksi positif. True Negative (TN) adalah jumlah kasus di mana model berhasil memprediksi dengan benar bahwa data termasuk ke dalam kelas negatif ketika label sebenarnya negatif dan model juga memprediksi negatif. False Positive

(FP) atau dikenal sebagai kesalahan tipe I terjadi ketika model salah memprediksi data sebagai kelas positif padahal label sebenarnya adalah negatif. Sedangkan False Negative (FN) atau kesalahan tipe II terjadi ketika model salah memprediksi data sebagai kelas negative, label sebenarnya adalah positif (Choi et al., 2024). Berikut merupakan *confusion matrix* yang memuat keempat nilai tersebut.

Tabel 2. 2 Confusion Matrix

Kelas Aktual	Kelas Prediksi	
	Positif	Negatif
Positif	TP	FN
Negatif	FP	TN

Kinerja klasifikasi dapat diukur dengan menggunakan *accuracy*, *precision*, *recall*, dan *Fscore*. *Accuracy* adalah banyak pengamatan yang terklasifikasi secara tepat. *Precision* adalah banyak pengamatan yang tepat terprediksi positif dari keseluruhan dengan hasil prediksi positif. *Recall* adalah banyaknya pengamatan yang tepat diklasifikasikan sesuai kategorinya. *Fscore* didapatkan dari nilai kombinasi antara *precision* dan *recall*. Dalam mengidentifikasi penyakit pada bidang medis diperlukan diagnosis yang tepat sebanyak mungkin sehingga hal yang perlu diperhatikan adalah proporsi penyakit yang teridentifikasi benar pada semua kasus penyakit. Oleh karena itu pada bidang medis sebaiknya menggunakan *sensitivity* (Chen, 2019). Perhitungan *accuracy*, *precision*, *recall* dan *Fscore* dapat dilakukan dengan menggunakan persamaan.

$$accuracy = \frac{TN+TP}{TN+TP+FN+FP} \quad (2.12)$$

$$precision = \frac{TP}{TP+FP} \quad (2.13)$$

$$recall = \frac{TP}{TP+FN} \quad (2.15)$$

$$fscore = \frac{2(precision \times recall)}{precision+recall} \quad (2.16)$$

#### 2.2.14 Python

*Python* adalah bahasa pemrograman computer serbaguna yang sering digunakan untuk membangun situs website, software atau aplikasi, mengotomasikan tugas dan melakukan analisis data. Bahasa pemrograman ini termasuk bahasa tujuan umum. Fleksibilitasnya memungkinkan pengguna untuk menciptakan berbagai jenis program dimulai dari pengolahan data, pengembangan kecerdasan buatan, hingga mengotomasikan dalam bidang industri. Python juga memiliki sintaks yang sederhana dan mudah dipahami sehingga sangat cocok bagi pemula yang baru mulai belajar pemrograman (Sharma et al., 2020).

Popularitas *python* terus meningkat berkat sifatnya yang mudah dipahami dan ekosistem yang luas. Berdasarkan survei pengembangan *Stack Overflow* tahun 2022, python menempati peringkat keempat sebagai bahasa pemrograman terpopuler. Hampir 50% responden mengaku menggunakan *python* untuk menyelesaikan tugas-tugas harian mereka. Dalam bidang pengembangan perangkat lunak *python* banyak digunakan banyak digunakan untuk pengolahan data, pembelajaran mesin dan pengembangan antarmuka *Application Programming Interface* (API). Bahkan python menjadi bahasa pemrograman dasar untuk *framework* seperti *Django* dan *Flask* yang memudahkan pengembangan aplikasi berbasis web (Marchand, 2022).

Nama *python* sendiri memiliki latar belakang yang unik. Ketika Guido van Rossum menciptakan bahasa ini pada akhir 1980-an ia terinspirasi dari acara komedi Inggris *Monty Python's Flying Circus* yang ia tonton saat itu. Menurutnya nama tersebut terdengar singkat, menarik, dan sedikit misterius. Hal ini mencerminkan filosofi *python* sebagai bahasa pemrograman yang sederhana dan mudah dipahami namun kuat (Rossum, 1996).

### 2.2.15 TensorFlow

*TensorFlow* adalah sebuah *framework open source* yang dirancang untuk komputasi dan *machine learning*. Dikembangkan oleh tim Google Brain pada tahun 2015. *TensorFlow* menawarkan fleksibilitas tinggi dalam membangun model *machine learning* dan *deep learning*. *Framework* ini mendukung operasi berbagai operasi matematika kompleks yang digunakan dalam pembuatan modeling seperti regresi, klasifikasi, pengenalan pola. *TensorFlow* memiliki arsitektur yang memungkinkan komputasi lintas platform dari perangkat *mobile* hingga *kluster* komputasi dasar menjadikannya pilihan populer dikalangan.

Salah satu fitur utama *TensorFlow* adalah kemampuannya untuk memanfaatkan grafik aliran data. Grafik ini memberitahu perhitungan dalam bentuk *nodes* dan *edges*, dimana *nodes* operasi matematika dan *edges* adalah data *tensor* yang mengalir diantara *nodes*. Pendekatan ini memungkinkan optimalisasi efisien, terutama untuk tugas-tugas yang memerlukan pemrosesan data besar secara paralel. *TensorFlow* mendukung berbagai bahasa pemrograman yang dapat memudahkan integrasi dengan sistem yang sudah ada seperti *Python*, *C++*, dan *javascript* (Abadi et al., 2015).

*Framework* ini terus berkembang dengan adanya fitur seperti *TensorFlow Lite* untuk pengembangan aplikasi pada perangkat *mobile* seperti *TensorFlow.js* untuk implementasi pada aplikasi berbasis web, *TensorFlow Extended* (TFX) untuk manajemen alur kerja *machine learning* secara end-to-end. Dengan ekosistem yang luas dan komunitatif *TensorFlow* salah satu *framework* yang digunakan dalam pengembangan model kecerdasan buatan. Keunggulannya dalam skalabilitas dan fleksibilitas menjadikannya alat yang sangat efektif untuk menangani permasalahan data yang kompleks (*TensorFlow*, n.d.).

### 2.2.16 Google Colab

Google Colab adalah sebuah platform pemrograman berbasis cloud yang dikembangkan oleh Google. Google Colab memberikan layanan menjalankan kode Python langsung di browser tanpa memerlukan pengaturan lingkungan lokal. Dengan integrasi Google Drive, Google Colab mempermudah kolaborasi antar pengguna yang memungkinkan berbagai dan mengedit notebook secara bersamaan. Colab mendukung berbagai aplikasi termasuk data, visualisasi, pengembangan model *deep learning* dan *machine learning* yang menjadikannya populer di kalangan peneliti dan praktisi data (Carneiro et al., 2018).

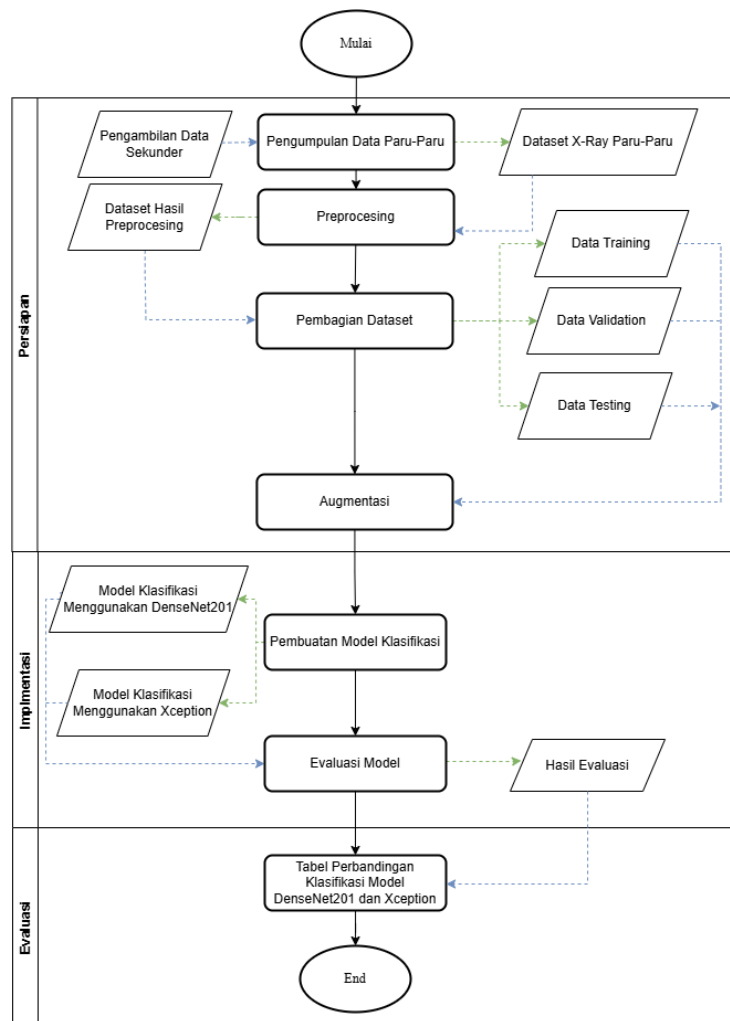
Colab menawarkan akses gratis ke sumber daya komputasi yang kuat seperti GPU dan TPU, yang dapat digunakan untuk mempercepat pelatihan model dalam *deep learning* dan *machine learning*. Google Colab juga menyediakan akses mudah ke berbagai library Python populer seperti *TensorFlow*, *NumPy*, dan *Matplotlib* tanpa memerlukan instalasi manual. Google Colab juga dapat mengintegrasikan dengan layanan cloud lain seperti *Google Cloud Storage* sehingga memperluas kemampuannya untuk mengelola data besar (Scholar & Bagane, 2024).

## BAB III

### METODOLOGI PENELITIAN

#### 3.1 Tahapan Penelitian

Pada tahapan penelitian ini, akan dijelaskan mengenai alur penelitian yang digunakan dalam pengerjaan tugas akhir. Tahapan penelitian ini memberi pedoman berupa alur penelitian yang dilakukan selama penelitian berlangsung.



Gambar 3. 1 Flowchart Tahapan Penelitian



### 3.1.1 Persiapan

#### a. Pengumpulan Data Paru-Paru

Pada proses ini merupakan tahapan yang digunakan untuk pengambilan data yang dibutuhkan dalam pengembangan model klasifikasi gambar. Dataset yang digunakan mencakup data citra *X-Ray* pneumonia, *X-Ray* TBC, dan *X-Ray* normal. Populasi penelitian ini berasal dari data sekunder. Untuk data sekunder diperoleh pada platform kaggle dan data dari rumah sakit. Data berasal dari platform kaggle berjumlah 7225 dataset citra x-ray dan data dari rumah sakit sejumlah 300 citra x-ray dengan rincian 100 data citra x-ray paru-paru normal, 100 data citra x-ray paru-paru pneumonia, dan 100 data citra x-ray paru-paru tuberculosis.

#### b. *Preprocessing*

Tahap *preprocessing* data terhadap data citra merupakan tahap awal yang penting untuk dilakukan sebelum melakukan proses pengenalan citra. Tahap ini bertujuan untuk mempersiapkan data citra agar dapat diolah dengan baik oleh model pengenalan citra.

##### 1. Pengurangan data citra

Pengurangan data citra merupakan suatu proses dari *preprocessing* data yang bertujuan untuk menyederhanakan dataset tanpa mengurangi representasi atau kualitas informasi yang relevan. Proses ini dilakukan untuk memastikan dalam pengembangan model lebih terfokus dan efisien, baik dari segi waktu pemrosesan maupun kebutuhan sumber daya komputasi. Pengurangan data citra dilakukan secara manual dengan mengurangi jumlah data menjadi 1000 data untuk setiap label.

##### 2. Menerapkan CLAHE pada data citra

CLAHE merupakan langkah yang digunakan meningkatkan kontras gambar sehingga fitur penting dalam citra menjadi lebih terlihat dan dapat

diolah dengan baik oleh model. CLAHE bekerja dengan menyesuaikan histogram lokal pada setiap gambar, menghindari peningkatan kontras yang secara berlebihan pada data (Koonsanit et al., 2017).

#### c. Pembagian Dataset

Dalam penelitian ini, terdapat 2000 data citra *X-Ray* yang dibagi menjadi tiga kelompok yaitu, data latih, data uji, dan data validasi. Data tersebut diambil secara acak dari keseluruhan dataset citra *X-Ray*. Sebanyak 1400 data *X-Ray* digunakan sebagai data latih untuk membangun sistem. Sebanyak 300 data validasi digunakan selama pelatihan untuk memonitor kinerja model. Sebanyak 300 data digunakan untuk data uji untuk mengevaluasi kinerja akhir model setelah pelatihan selesai.

#### d. Augmentasi

Augmentasi data pada citra dilakukan untuk meningkatkan variasi dataset tanpa menambah jumlah gambar asli secara langsung. Augmentasi citra dilakukan menggunakan berbagai metode. Augmentasi citra yang tepat akan meningkatkan performa model pengenalan citra.

### 3.1.2 Implementasi

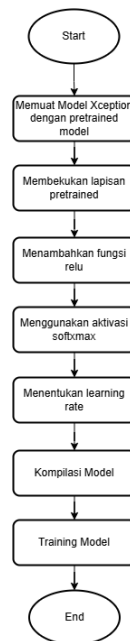
#### a. Pembuatan Model

Dalam tahap pembuatan model ini, model yang digunakan adalah *DenseNet201* dan *Xception*. Berikut adalah tahapan pembuatan model *DenseNet201* dan *Xception*.

##### 1. Model *DenseNet201*

Model *DenseNet201* adalah yang terdiri dari 201 lapisan, yang mempunyai *dense connections* yang terdiri dari *dense blocks* dan *transition layers*. Setiap lapisan terhubung langsung dengan lapisan lainnya, sehingga informasi dapat tersalurkan dengan optimal dan ukuran keluaran tetap konsisten diseluruh lapisan (Huang et al., 2016). Tahapan pembuatan model

*DenseNet201* antara lain model menggunakan *ImageNet* dengan memanfaatkan pretrained untuk membantu model dalam mengklasifikasikan, menambahkan *freeze* model yang memiliki fungsi agar lapisan model yang sudah dilatih sebelumnya tidak akan diperbarui selama pelatihan untuk mencegah overfitting, menambahkan fungsi relu, menggunakan aktivasi sigmoid, menentukan learning rate, menambahkan kompilasi model yang digunakan untuk optimalisasi model seperti optimasi adam, melakukan pelatihan atau training model (Cobilla et al., 2023).

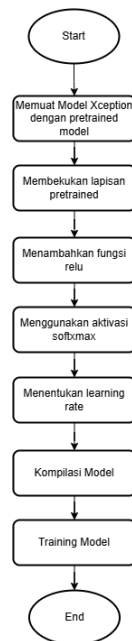


Gambar 3. 2 Alur Pembuatan Model DenseNet201

## 2. Model *Xception*

Model *Xception* adalah model memiliki lapisan konvolusi yang menggabungkan *pointwise convolution* yang kemudian diikuti oleh *depthwise convolution*, yang memiliki kelebihan menghemat jumlah parameter dan meningkatkan efisiensi komputasi sekaligus mempertahankan akurasi (Chollet, 2017). Terdapat beberapa tahap untuk pembuatan model *Xception* antara lain, model menggunakan *ImageNet* dengan memanfaatkan pretrained untuk membantu model dalam

mengklasifikasikan, karena model tidak perlu lagi untuk mempelajari fitur-fitur dasar dari awal yang memerlukan dataset banyak. Menambahkan *freeze* model yang memiliki fungsi agar lapisan Model yang sudah dilatih sebelumnya tidak akan diperbarui selama pelatihan, hal ini dilakukan untuk mencegah *overfitting*. Menambahkan fungsi relu. Menggunakan aktivasi sigmoid. Menentukan learning rate. Menambahkan kompilasi model yang digunakan untuk optimalisasi model seperti optimasi adam. Melakukan pelatihan atau training model (Cobilla et al., 2023).



Gambar 3. 3 Alur Pembuatan Model Xception

#### b. Evaluasi Model

Kinerja klasifikasi Model DenseNet201 dan Model Xception diukur dengan menggunakan *accuracy*, *precision*, *sensitivity*, dan *Fscore* yang diambil dari dataset testing. Untuk mengetahui nilai dari *accuracy*, *precision*, *sensitivity*, dan *Fscore* dapat diketahui dari nilai TN, TP, FN, dan FP yang diperoleh dari *confusion matrix* (hart et al., 2024). Perhitungan *accuracy*, *precision*, *recall* dan *Fscore* dapat dilakukan dengan menggunakan persamaan berikut.

$$akurasi = \frac{TN+TP}{TN+TP+FN+FP} \quad (3.1)$$

$$presisi = \frac{TP}{TP+FP} \quad (3.2)$$

$$recall = \frac{TP}{TP+TN} \quad (3.3)$$

$$f_{s1core} = \frac{2(precision \times recall)}{precision+recall} \quad (3.3)$$

Akurasi ini memiliki tingkat nilai diagnosa yaitu :

- a. Akurasi antara 0.90 dan 1.00 diklasifikasikan sebagai berikut “excellent classification” (klasifikasi sangat baik).
- b. Akurasi antara 0.80 dan 0.90 diklasifikasikan sebagai berikut “good classification” (klasifikasi baik).
- c. Akurasi antara 0.70 dan 0.80 diklasifikasikan sebagai berikut “fair classification” (klasifikasi cukup).
- d. Akurasi antara 0.60 dan 0.70 diklasifikasikan sebagai berikut “poor classification” (klasifikasi kurang baik).
- e. Akurasi antara 0.50 dan 0.60 diklasifikasikan sebagai berikut “failure” (gagal).

### 3.1.3 Evaluasi

Pada tahap evaluasi dilakukan dengna membuat tabel perbandingan dari hasil klasifikasi model *DenseNet201* dan *Xception*. Kinerja kedua model arsitektur CNN ini dibandingkan berdasarkan akurasi, presisi, recall, dan F1-Score. Metrik-metrik tersebut dihitung menggunakan confusion matrix yang diperoleh dari hasil klasifikasi terbaik masing-masing model.

### 3.2 Jadwal Kegiatan

Tabel 3. 1 Tabel Jadwal Kegiatan

No	KEGIATAN	Bulan I				Bulan II				Bulan III				Bulan IV			
		I	II	III	IV	I	II	III	IV	I	II	III	IV	I	II	III	IV
1	Pengumpulan Data Pneumonia																
2	Preprocessing Data																
3	Pembagian dataset																
4	Permodelan Model Klasifikasi																
5	Evaluasi Model																
6	Perbandingan Model																

## DAFTAR PUSTAKA

- Abadi, M., Agarwal, A., Barham, P., Brevdo, E., Chen, Z., Citro, C., Corrado, G. S., Davis, A., Dean, J., Devin, M., Ghemawat, S., Goodfellow, I., Harp, A., Irving, G., Isard, M., Jia, Y., Jozefowicz, R., Kaiser, L., Kudlur, M., ... Research, G. (2015). *TensorFlow: Large-Scale Machine Learning on Heterogeneous Distributed Systems*. [www.tensorflow.org](http://www.tensorflow.org).
- Agustina Purwitasari, N., Soleh, M., Raya Puspiptek, J., & Tangerang Selatan, K. (2022). *Implementasi Algoritma Artificial Neural Network Dalam Pembuatan Chatbot Menggunakan Pendekatan Natural Language Processing (Implementation Of Artificial Neural Network Algorithm In Chatbot Development Using Natural Language Processing Approach)*.
- Banu, S., Sitepu, R., & Sulistiari, R. (2017). *FAKTOR RISIKO KEJADIAN TB PARU DI PUSKESMAS HUTARAKYAT SIDIKALANG TAHUN 2017*.
- Bishop, C. M. . (2006). *Pattern recognition and machine learning*. Springer Science + Business Media.
- Carnegie, J. O., Prabowo, A. R., Budiana, E. P., & Singgih, I. K. (2022). Essential Oil Plants Image Classification Using Xception Model. *Procedia Computer Science*, 204, 395–402. <https://doi.org/10.1016/j.procs.2022.08.048>
- Carneiro, T., Da Nobrega, R. V. M., Nepomuceno, T., Bian, G. Bin, De Albuquerque, V. H. C., & Filho, P. P. R. (2018). Performance Analysis of Google Colaboratory as a Tool for Accelerating Deep Learning Applications. *IEEE Access*, 6, 61677–61685. <https://doi.org/10.1109/ACCESS.2018.2874767>
- CDC. (2023). *Risk Factors for Pneumonia | Pneumonia | CDC*. <https://www.cdc.gov/pneumonia/risk-factors/index.html?form=MG0AV3>
- Chauhan, T., Palivela, H., & Tiwari, S. (2021). Optimization and fine-tuning of DenseNet model for classification of COVID-19 cases in medical imaging. *International Journal of Information Management Data Insights*, 1(2). <https://doi.org/10.1016/j.jjime.2021.100020>
- Chen, X. (2019). *Image enhancement effect on the performance of convolutional neural networks*. [www.bth.se](http://www.bth.se)
- Chest X-rays – The Heart Clinic*. (2015, September 29). <https://heartclinics.org/terminology/chest-x-rays/>
- Choi, Y., Hart, G., Soulliere, C., & Chen, M. (2024, May 31). *TP / FP / FN / TN: Learn about true positives, false positives, false negatives, and true negatives to evaluate*

- ML model performance · Testing with Kolena.* <https://docs.kolena.com/metrics/tp-fp-fn-tn/?form=MG0AV3>
- Chollet, F. (2017). Xception: Deep learning with depthwise separable convolutions. *Proceedings - 30th IEEE Conference on Computer Vision and Pattern Recognition, CVPR 2017, 2017-January*, 1800–1807. <https://doi.org/10.1109/CVPR.2017.195>
- Cobilla, R., Carlo Dichoso, J., Minon, A. B., Kate Pascual, A., Abisado, M., Huyo-A, S. L., & Avelino Sampedro, G. (2023). Classification of the Type of Brain Tumor in MRI Using Xception Model. *2023 International Conference on Electronics, Information, and Communication, ICEIC 2023.* <https://doi.org/10.1109/ICEIC57457.2023.10049979>
- Devi, B. S., Chatrapati, K. S., & Sandhya, N. (2024). Enhanced Sugarcane Disease Detection Using DenseNet201 and DenseNet264 with Transfer Learning and Fine-tuning. *Frontiers in Health Informatics*, 13(3). [www.healthinformaticsjournal.com](http://www.healthinformaticsjournal.com)
- Elvionita, C., Sari, I. P., & Nuryastuti, T. (2023). Evaluation the Rationality of Clinical Outcomes of Antibiotic Use and Patterns of Bacterial Resistance to Antibiotics in Children with Pneumonia. *Majalah Farmaseutik*, 19(1). <https://doi.org/10.22146/farmaseutik.v19i1.76103>
- Farida, Y., Trisna, A., & Nur, D. (2017). Study of Antibiotic Use on Pneumonia Patient in Surakarta Referral Hospital Studi Penggunaan Antibiotik Pada Pasien Pneumonia di Rumah Sakit Rujukan Daerah Surakarta. In *Journal of Pharmaceutical Science and Clinical Research* (Vol. 02).
- Gonzalez, R. C. ., & Woods, R. E. . (2002). *Digital image processing*. Prentice Hall.
- Gonzalez, R. C. ., & Woods, R. E. . (2008). *Digital image processing*. Prentice Hall.
- Hafemann, L. G., Sabourin, R., & Oliveira, L. S. (2017). Learning features for offline handwritten signature verification using deep convolutional neural networks. *Pattern Recognition*, 70, 163–176. <https://doi.org/https://doi.org/10.1016/j.patcog.2017.05.012>
- hart, gordon, Shen, B., Chen, M., & Choi, Y. (2024, December 3). *Confusion Matrix: How to create and interpret confusion matrices to evaluate ML model performance · Testing with Kolena.* <https://docs.kolena.com/metrics/confusion-matrix/>
- Hasan, M. A., Haque, F., Roy, T., Islam, M., Nahiduzzaman, M., Hasan, M. M., Ahsan, M., & Haider, J. (2024). Prediction of fetal brain gestational age using multihead



- attention with Xception. *Computers in Biology and Medicine*, 182. <https://doi.org/10.1016/j.compbiomed.2024.109155>
- He, K., Zhang, X., Ren, S., & Sun, J. (2015). *Deep Residual Learning for Image Recognition*. <http://arxiv.org/abs/1512.03385>
- Heaton, J. (2018). Ian Goodfellow, Yoshua Bengio, and Aaron Courville: Deep learning. *Genetic Programming and Evolvable Machines*, 19(1–2), 305–307. <https://doi.org/10.1007/s10710-017-9314-z>
- Hosna, A., Merry, E., Gyalmo, J., Alom, Z., Aung, Z., & Azim, M. A. (2022). Transfer learning: a friendly introduction. *Journal of Big Data*, 9(1). <https://doi.org/10.1186/s40537-022-00652-w>
- Huang, G., Liu, Z., van der Maaten, L., & Weinberger, K. Q. (2016). *Densely Connected Convolutional Networks*. <http://arxiv.org/abs/1608.06993>
- Huy, V. T. Q., & Lin, C.-M. (2023). An Improved Densenet Deep Neural Network Model for Tuberculosis Detection Using Chest X-Ray Images. *IEEE Access*, 11, 42839–42849. <https://doi.org/10.1109/ACCESS.2023.3270774>
- Iswari, R. A. (2021). *KLASIFIKASI PNEUMONIA PADA GAMBAR X-RAY PARU-PARU MENGGUNAKAN CONVOLUTIONAL NEURAL NETWORK*.
- Kong, L., & Cheng, J. (2022). Classification and detection of COVID-19 X-Ray images based on DenseNet and VGG16 feature fusion. *Biomedical Signal Processing and Control*, 77. <https://doi.org/10.1016/j.bspc.2022.103772>
- Koonsanit, K., Thongvigitmanee, S., Pongnapang, N., & Thajchayapong, P. (2017). Image enhancement on digital x-ray images using N-CLAHE. *2017 10th Biomedical Engineering International Conference (BMEiCON)*, 1–4. <https://doi.org/10.1109/BMEiCON.2017.8229130>
- Kosarkar, N., Basuri, P., Karamore, P., Gawali, P., Badole, P., & Jumle, P. (2022). Disease Prediction using Machine Learning. *2022 10th International Conference on Emerging Trends in Engineering and Technology - Signal and Information Processing (ICETET-SIP-22)*, 1–4. <https://doi.org/10.1109/ICETET-SIP-2254415.2022.9791739>
- Manafe, D. (2020). *Covid-19 Masih Panjang, Indonesia Kekurangan 1.294 Dokter Paru*. <https://www.beritasatu.com/news/674573/covid19-masih-panjang-indonesia-kekurangan-1294-dokter-paru>
- Marchand, W. R. (2022). *The Rising Popularity of Python* - <https://pythoncircle.com>. <https://pythoncircle.com/post/763/the-rising-popularity-of-python/?form=MG0AV3>

- Mathofani, P. E., Febriyanti, R., Studi, P., Masyarakat, K., & Abstrak, U. F. (2020). Faktor-Faktor Yang Berhubungan Dengan Kejadian Penyakit Tuberkulosis (TB) Paru di Wilayah Kerja Puskesmas Serang Kota Tahun 2019 The Factors Associated With The Incidence Of Pulmonary Tuberculosis In The Working Area Of Serang City Health Center 2019. In *Jurnal Ilmiah Kesehatan Masyarakat* (Vol. 12).
- Nurin, F. (2024). *9 Faktor Risiko Pneumonia yang Perlu Anda Waspada*. <https://hellosehat.com/pernapasan/pneumonia/faktor-risiko-pneumonia/?form=MG0AV3>
- Pan, C., Lian, L., Chen, J., & Huang, R. (2023). FemurTumorNet: Bone tumor classification in the proximal femur using DenseNet model based on radiographs. *Journal of Bone Oncology*, 42. <https://doi.org/10.1016/j.jbo.2023.100504>
- Panthakkan, A., Anzar, S. M., Jamal, S., & Mansoor, W. (2022). Concatenated Xception-ResNet50 — A novel hybrid approach for accurate skin cancer prediction. *Computers in Biology and Medicine*, 150. <https://doi.org/10.1016/j.compbiomed.2022.106170>
- Patterson, J., & Gibson, A. (2017). *Deep Learning: A Practitioner's Approach*. O'Reilly Media. <https://books.google.co.id/books?id=qrcuDwAAQBAJ>
- Pittara. (2022, May 10). *Pencegahan Pneumonia - Alodokter*. <https://www.alodokter.com/pneumonia/pencegahan?form=MG0AV3>
- Pranita, E., & Sumartiningtyas, H. K. N. (2020). *Indonesia Peringkat Ketujuh Kematian Balita akibat Pneumonia di Dunia, Apa Sebabnya? Halaman all - Kompas.com*. <https://www.kompas.com/sains/read/2020/11/09/173300723/indonesia-peringkat-ketujuh-kematian-balita-akibat-pneumonia-di-dunia-apa?page=all>
- Rahman, T., Baras, A. S., & Chellappa, R. (2025). Evaluation of a Task-Specific Self-Supervised Learning Framework in Digital Pathology Relative to Transfer Learning Approaches and Existing Foundation Models. *Modern Pathology*, 38(1). <https://doi.org/10.1016/j.modpat.2024.100636>
- Ramdhan, A., Bustomi, M. A., & Faridawati. (2014). *KLASIFIKASI CITRA RONTGEN PARU PARU DENGAN EKSTRAKSI FITUR HISTOGRAM DAN METODE NAIVE BAYES*.
- Rindrasari, R. (2018). *KLASIFIKASI KELAS RISIKO PASIEN PNEUMONIA MENGGUNAKAN METODE SUPPORT VECTOR MACHINE-GENETIC ALGORITHM (SVM-GA) HYBRID*.

- Rokhana, R., Priambodo, J., Karlita, T., Made, I., Sunarya, G., Yuniarno, E. M., Purnama, K. E., & Purnomo, M. H. (2019). Convolutional Neural Network untuk Pendeteksian Patah Tulang Femur pada Citra Ultrasonik B-Mode. In *JNTETI* (Vol. 8, Issue 1).
- Rossum, G. van. (1996). *Foreword for "Programming Python" (1st ed.)* | *Python.org*. <https://www.python.org/doc/essays/foreword/>
- Sadik, R., Majumder, A., Biswas, A. A., Ahammad, B., & Rahman, M. M. (2023). An in-depth analysis of Convolutional Neural Network architectures with transfer learning for skin disease diagnosis. *Healthcare Analytics*, 3. <https://doi.org/10.1016/j.health.2023.100143>
- Saleh, A. W., Gupta, G., Khan, S. B., Alkhaldi, N. A., & Verma, A. (2023). An Alzheimer's disease classification model using transfer learning Densenet with embedded healthcare decision support system. *Decision Analytics Journal*, 9. <https://doi.org/10.1016/j.dajour.2023.100348>
- Sartiwi, W., Rika Nofia, V., Komala Sari, I., Studi, P. S., & Syedza Saintika, S. (n.d.). *Jurnal Abdimas Saintika LATIHAN BATUK EFEKTIF PADA PASIEN PNEUMONIA DI RSUD SAWAHLUNTO*. <https://jurnal.syedzasaintika.ac.id>
- Scholar, M. T., & Bagane, M. (2024). *Google Colab: The Free Cloud Platform Powering Machine Learning*. 12, 1.
- Sewak, M., Karim, Md. R., & Pujari, P. (2018). *Practical Convolutional Neural Networks: Implement advanced deep learning models using Python*. Packt Publishing.
- Sharma, A., Khan, F., Sharma, D., Gupta, S., & Student, F. Y. (2020). *Python: The Programming Language of Future*.
- Soewu, T., Uday Kalyan, S. V, Rakhra, M., & Singh, D. (2022). Lung Cancer Detection using Image Processing. *2022 5th International Conference on Contemporary Computing and Informatics (IC3I)*, 1206–1211. <https://doi.org/10.1109/IC3I56241.2022.10072589>
- Sulistiyani Ratna, S., Setyawan Arianto, F., & Komarudin, M. (2016). *PENGOLAHAN CITRA; DASAR DAN CONTOH PENERAPANNYA*.
- Tang, X., & Rashid Sheykhahmad, F. (2024). Boosted dipper throated optimization algorithm-based Xception neural network for skin cancer diagnosis: An optimal approach. *Heliyon*, 10(5). <https://doi.org/10.1016/j.heliyon.2024.e26415>
- TensorFlow*. (n.d.). Retrieved December 25, 2024, from <https://www.tensorflow.org/>

- Tharwat, A. (2018). Classification assessment methods. *Applied Computing and Informatics*, 17(1), 168–192. <https://doi.org/10.1016/j.aci.2018.08.003>
- Upasana, C., Tewari, A. S., & Singh, J. P. (2022). An Attention-based Pneumothorax Classification using Modified Xception Model. *Procedia Computer Science*, 218, 74–82. <https://doi.org/10.1016/j.procs.2022.12.403>
- Virnodkar, S. S., Pachghare, V. K., Patil, V. C., & Jha, S. K. (2022). CaneSat dataset to leverage convolutional neural networks for sugarcane classification from Sentinel-2. *Journal of King Saud University - Computer and Information Sciences*, 34(6), 3343–3355. <https://doi.org/10.1016/j.jksuci.2020.09.005>
- Wikanargo, M. A., & Thenata, A. P. (2018). IMAGE SEGMENTATION OF CHEST X-RAYS FOR ABNORMALITY PATTERN RECOGNITION IN LUNGS USING FUZZY C-MEANS METHOD. *Jurnal Terapan Teknologi Informasi*, 2(2), 101–111. <https://doi.org/10.21460/jutei.2018.22.98>
- world health organizations. (2017). *Global tuberculosis report 2017*. World Health Organization.
- Zeng, T., Chen, Y., Zhu, D., Huang, Y., Huang, Y., Chen, Y., Shi, J., Ding, B., & Huang, J. (2024). AI diagnostics in bone oncology for predicting bone metastasis in lung cancer patients using DenseNet-264 deep learning model and radiomics. *Journal of Bone Oncology*, 48. <https://doi.org/10.1016/j.jbo.2024.100640>
- Zhang, A., Lipton, Z. C., Li, M., & Smola, A. J. (2021). *Dive into Deep Learning — Dive into Deep Learning 1.0.3 documentation*. <https://d2l.ai/>